

Leistungserklärung

MKT Injektionssystem VMU Plus
zur Verankerung in Mauerwerk

gültig für

Injektionsanker XV Plus

Dieses Dokument der MÜPRO dient nur zur Information und unterliegt nicht dem Änderungsdienst.
Der gesamte Inhalt darf für werbliche oder andere Zwecke nur nach Genehmigung durch die MÜPRO verwendet werden.
Alle Rechte und Änderungen vorbehalten.

LEISTUNGSERKLÄRUNG
DoP Nr. MKT- 621 - de

1. Eindeutiger Kenncode des Produkttyps: **MKT Injektionssystem VMU plus**
2. Typen-, Chargen- oder Seriennummer oder ein anderes Kennzeichen zur Identifikation des Bauprodukts gemäß Artikel 11 Absatz 4:

**ETA-13/0909, Anhang A2 und A3
Chargennummer : siehe Verpackung**

3. Vom Hersteller vorgesehener Verwendungszweck oder vorgesehene Verwendungszwecke des Bauprodukts gemäß der anwendbaren harmonisierten technischen Spezifikation:

Produkttyp	Verbunddübel
Für die Verwendung in	Mauerwerk
Option	b, c und d
Belastung	statisch oder quasi-statisch
Material	<p><u>Stahl feuerverzinkt:</u> in trockenen Innenräumen enthaltene Größen: VMU-A, V-A: M8, M10, M12, M16 VMU-IG: M6, M8, M10</p> <p><u>Stahl verzinkt:</u> in trockenen Innenräumen enthaltene Größen: VMU-A, V-A: M8, M10, M12, M16 VMU-IG: M6, M8, M10</p> <p><u>nichtrostender Stahl (Prägung A4):</u> in Innen- und Außenbereichen ohne besonders aggressive Bedingungen enthaltene Größen: VMU-A, V-A: M8, M10, M12, M16 VMU-IG: M6, M8, M10</p> <p><u>hochkorrosionsbeständiger Stahl (Prägung HCR):</u> in Innen- und Außenbereichen unter besonders aggressiven Bedingungen enthaltene Größen: VMU-A, V-A: M8, M10, M12, M16 VMU-IG: M6, M8, M10</p>
Temperaturbereich (gegebenenfalls)	<p>T_a: -40 °C bis +40 °C T_b: -40 °C bis +80 °C T_c: -40 °C bis +120 °C</p>

4. Name, eingetragener Handelsname oder eingetragene Marke und Kontaktanschrift des Herstellers gemäß Artikel 11 Absatz 5:

**MKT Metall-Kunststoff-Technik GmbH & Co. KG
Auf dem Immel 2
D - 67685 Weilerbach**

5. Gegebenenfalls Name und Kontaktanschrift des Bevollmächtigten, der mit den Aufgaben gemäß Artikel 12 Absatz 2 beauftragt ist: --
6. System oder Systeme zur Bewertung und Überprüfung der Leistungsbeständigkeit des Bauprodukts gemäß Anhang V: **System 1**
7. Im Falle der Leistungserklärung, die ein Bauprodukt betrifft, das von einer harmonisierten Norm erfasst wird: --

8. Im Falle der Leistungserklärung, die ein Bauprodukt betrifft, für das eine Europäische Technische Bewertung ausgestellt worden ist:

Deutsches Institut für Bautechnik, Berlin

hat folgendes ausgestellt:

ETA-13/0909

auf der Grundlage von

ETAG 029

Die notifizierte Produktzertifizierungsstelle 1343-CPR hat nach dem System 1 vorgenommen:

- i) Feststellung des Produkttyps anhand einer Typprüfung (einschließlich Probenahme), einer Typberechnung, von Werttabellen oder Unterlagen zur Produktbeschreibung;
- ii) Erstinspektion des Werks und der werkseigenen Produktionskontrolle;
- iii) laufende Überwachung, Bewertung und Evaluierung der werkseigenen Produktionskontrolle

und Folgendes ausgestellt: Zertifikat der Leistungsbeständigkeit 1343-CPR-M 550-14/08.14

9. Erklärte Leistung:

Wesentliche Merkmale	Bemessungsmethode	Leistung	Harmonisierte technische Spezifikation
Charakteristische Werte der Tragfähigkeit des Dübels im Mauerwerk	ETAG 029, Anhang C	ETA-13/0909, Anhang C	ETAG 029
Minimale Achs- und Randabstände	ETAG 029, Anhang C	ETA-13/0909, Anhang C	
Verschiebung im Gebrauchszustand	ETAG 029, Anhang C	ETA-13/0909, Anhang C	

Wenn gemäß den Artikeln 37 oder 38 die Spezifische Technische Dokumentation verwendet wurde, die Anforderungen, die das Produkt erfüllt: --

10. Die Leistung des Produkts gemäß den Nummern 1 und 2 entspricht der erklärten Leistung nach Nummer 9.

Verantwortlich für die Erstellung dieser Leistungserklärung ist allein der Hersteller gemäß Nummer 4.

Unterzeichnet für den Hersteller und im Namen des Herstellers von:

Stefan Weustenhagen

Stefan Weustenhagen

(Geschäftsführer)

Weilerbach, 08.12.2016

i.V. *Detlef Bigalke*

Dipl.-Ing. Detlef Bigalke

(Leiter der Produktentwicklung)



Tabelle C1: β - Faktoren für Baustellenversuche unter Zugbelastung

Stein-Nr. und Kurzbezeichnung	Temperaturbereich und Nutzungskategorie	β -Faktor					
		T _a : 40°C / 24°C		T _b : 80°C / 50°C		T _c : 120°C / 72°C	
		d/d	w/d w/w	d/d	w/d w/w	d/d	w/d w/w
1 AAC6	alle Größen	0,95	0,86	0,81	0,73	0,81	0,73
2 KS-NF	d ₀ ≤ 14 mm	0,93	0,80	0,87	0,74	0,65	0,56
	d ₀ ≥ 16 mm	0,93	0,93	0,87	0,87	0,65	0,65
3 KSL-3DF	d ₀ ≤ 12 mm	0,93	0,80	0,87	0,74	0,65	0,56
	d ₀ ≥ 16 mm	0,93	0,93	0,87	0,87	0,65	0,65
4 KSL-12DF	d ₀ ≤ 12 mm	0,93	0,80	0,87	0,74	0,65	0,56
	d ₀ ≥ 16 mm	0,93	0,93	0,87	0,87	0,65	0,65
5 MZ-DF	alle Größen	0,86	0,86	0,86	0,86	0,73	0,73
6 Hiz-16DF							
7 Porotherm Homebric							
8 BGV-Thermo							
9 Calibric R+							
10 Urbanbric							
11 Brique creuse C40							
12 Blocchi Leggeri							
13 Doppio Uni							
14 Bloc creux B40	d ₀ ≤ 12 mm	0,93	0,80	0,87	0,74	0,65	0,56
	d ₀ ≥ 16 mm	0,93	0,93	0,87	0,87	0,65	0,65
15 Vollstein aus Leichtbeton	d ₀ ≤ 12 mm	0,93	0,80	0,87	0,74	0,65	0,56
	d ₀ ≥ 16 mm	0,93	0,93	0,87	0,87	0,65	0,65

Injektionssystem VMU plus für Mauerwerk

Leistungen
 β -Faktoren für Baustellenversuche unter Zugbelastung

Anhang C1

Tabelle C2: Charakteristische Stahltragfähigkeit unter Zug- und Querbeanspruchung

Ankertyp Ankergröße			VMU-IG			VMU-A, V-A			
			M6	M8	M10	M8	M10	M12	M16
Charakteristische Zugtragfähigkeit									
Stahl – Festigkeitsklasse 4.6	$N_{RK,s}$	[kN]	-	-	-	15	23	34	63
	γ_{Ms}	[-]	-			2,0			
Stahl – Festigkeitsklasse 4.8	$N_{RK,s}$	[kN]	-	-	-	15	23	34	63
	γ_{Ms}	[-]	-			1,5			
Stahl – Festigkeitsklasse 5.6	$N_{RK,s}$	[kN]	10	18	29	18	29	42	79
	γ_{Ms}	[-]	2,0			2,0			
Stahl – Festigkeitsklasse 5.8	$N_{RK,s}$	[kN]	10	17	29	18	29	42	79
	γ_{Ms}	[-]	1,5			1,5			
Stahl – Festigkeitsklasse 8.8	$N_{RK,s}$	[kN]	16	27	46	29	46	67	126
	γ_{Ms}	[-]	1,5			1,5			
Nichtrostender Stahl A4 / HCR, Festigkeitsklasse 70	$N_{RK,s}$	[kN]	14	26	41	26	41	59	110
	γ_{Ms}	[-]	1,87			1,87			
Nichtrostender Stahl A4 / HCR, Festigkeitsklasse 80	$N_{RK,s}$	[kN]	16	29	46	29	46	67	126
	γ_{Ms}	[-]	1,6			1,6			
Charakteristische Quertragfähigkeit									
Stahl – Festigkeitsklasse 4.6	$V_{RK,s}$	[kN]	-	-	-	7	12	17	31
	γ_{Ms}	[-]	-			1,67			
Stahl – Festigkeitsklasse 4.8	$V_{RK,s}$	[kN]	-	-	-	7	12	17	31
	γ_{Ms}	[-]	-			1,25			
Stahl – Festigkeitsklasse 5.6	$V_{RK,s}$	[kN]	5	9	15	9	15	21	39
	γ_{Ms}	[-]	1,67			1,67			
Stahl – Festigkeitsklasse 5.8	$V_{RK,s}$	[kN]	5	9	15	9	15	21	39
	γ_{Ms}	[-]	1,25			1,25			
Stahl – Festigkeitsklasse 8.8	$V_{RK,s}$	[kN]	8	14	23	15	23	34	63
	γ_{Ms}	[-]	1,25			1,25			
Nichtrostender Stahl A4 / HCR, Festigkeitsklasse 70	$V_{RK,s}$	[kN]	7	13	20	13	20	30	55
	γ_{Ms}	[-]	1,56			1,56			
Nichtrostender Stahl A4 / HCR, Festigkeitsklasse 80	$V_{RK,s}$	[kN]	8	15	23	15	23	34	63
	γ_{Ms}	[-]	1,33			1,33			
Charakteristisches Biegemoment									
Stahl – Festigkeitsklasse 4.6	$M_{RK,s}$	[Nm]	-	-	-	15	30	52	133
	γ_{Ms}	[-]	-			1,67			
Stahl – Festigkeitsklasse 4.8	$M_{RK,s}$	[Nm]	-	-	-	15	30	52	133
	γ_{Ms}	[-]	-			1,25			
Stahl – Festigkeitsklasse 5.6	$M_{RK,s}$	[Nm]	8	19	37	19	37	66	167
	γ_{Ms}	[-]	1,67			1,67			
Stahl – Festigkeitsklasse 5.8	$M_{RK,s}$	[Nm]	8	19	37	19	37	66	167
	γ_{Ms}	[-]	1,25			1,25			
Stahl – Festigkeitsklasse 8.8	$M_{RK,s}$	[Nm]	12	30	60	30	60	105	266
	γ_{Ms}	[-]	1,25			1,25			
Nichtrostender Stahl A4 / HCR, Festigkeitsklasse 70	$M_{RK,s}$	[Nm]	11	26	52	26	52	92	233
	γ_{Ms}	[-]	1,56			1,56			
Nichtrostender Stahl A4 / HCR, Festigkeitsklasse 80	$M_{RK,s}$	[Nm]	12	30	60	30	60	105	266
	γ_{Ms}	[-]	1,33			1,33			

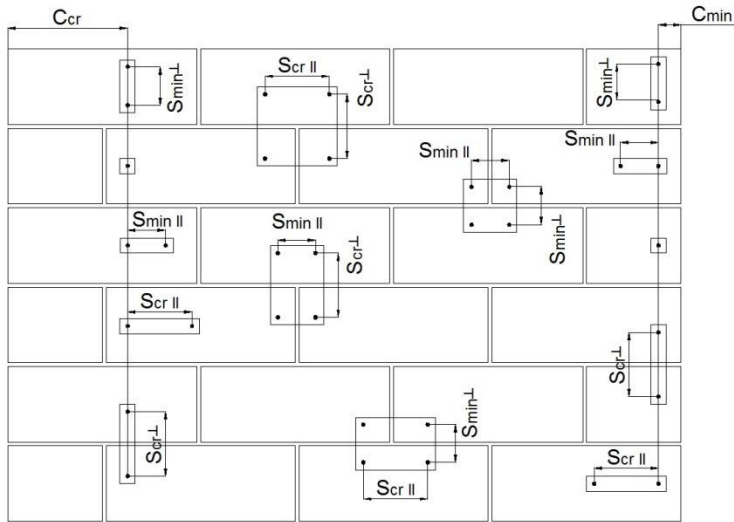
Injektionssystem VMU plus für Mauerwerk

Leistungen

Charakteristische Stahltragfähigkeit unter Zug- und Querbeanspruchung

Anhang C2

Rand- und Achsabstände



Ccr = Charakteristischer Randabstand
Cmin = Minimaler Randabstand
Scr = Charakteristischer Achsabstand
Smin = Minimaler Achsabstand

Scr,II ; (Smin,II) = Charakteristischer (minimaler) Achsabstand für Anker parallel zur Lagerfuge angeordnet
Scr,⊥ ; (Smin,⊥) = Charakteristischer (minimaler) Achsabstand für Anker senkrecht zur Lagerfuge angeordnet

Lastrichtung \ Ankeranordnung	Zuglast	Querzuglast parallel zum freien Rand	Querzuglast senkrecht zum freien Rand
Ankeranordnung parallel zur Lagerfuge $Scr,II ; (Smin,II)$			
Ankeranordnung senkrecht zur Lagerfuge $Scr,⊥ ; (Smin,⊥)$			

$\alpha_{g,N,II}$ = Gruppenfaktor bei Zugbelastung für Anker parallel zur Lagerfuge angeordnet
 $\alpha_{g,V,II}$ = Gruppenfaktor bei Querzugbelastung für Anker parallel zur Lagerfuge angeordnet
 $\alpha_{g,N,\perp}$ = Gruppenfaktor bei Zugbelastung für Anker senkrecht zur Lagerfuge angeordnet
 $\alpha_{g,V,\perp}$ = Gruppenfaktor bei Querzugbelastung für Anker senkrecht zur Lagerfuge angeordnet

Gruppe aus 2 Ankern: $N_{RK}^g = \alpha_{g,N} * N_{RK}$ und $V_{RK}^g = \alpha_{g,V} * V_{RK}$

Gruppe aus 4 Ankern: $N_{RK}^g = \alpha_{g,N,II} * \alpha_{g,N,\perp} * N_{RK}$ und $V_{RK}^g = \alpha_{g,V,II} * \alpha_{g,V,\perp} * V_{RK}$

$(N_{RK}: N_{RK,b}$ oder $N_{RK,b,j}$ für C_{cr})
 $(V_{RK}: V_{RK,c}; V_{RK,c,j}; V_{RK,b}$ oder $V_{RK,b,j}$ für C_{cr})
 (mit zugehörigem α_g)

Injektionssystem VMU plus für Mauerwerk

Leistungen
 Rand- und Achsabstände

Anhang C3

Steintyp: Porenbeton – AAC6

Tabelle C3: Beschreibung des Steins

Steintyp	Porenbeton AAC6		
Dichte	ρ [kg/dm ³]	0,6	
Druckfestigkeit	$f_b \geq$ [N/mm ²]	6	
Code	EN 771-4		
Hersteller (Ländercode)	z.B. Porit (DE)		
Steinabmessungen	[mm]	499 x 240 x 249	
Bohrverfahren	Drehend		

Tabelle C4: Rand- und Achsabstände

Ankergröße			Alle Größen
Randabstand	c_{cr}	[mm]	$1,5 \cdot h_{ef}$
Minimaler Randabstand	$c_{min,N}$	[mm]	75
	$c_{min,V,II}$ ($c_{min,v,\perp}$) ¹⁾	[mm]	$75 (1,5 \cdot h_{ef})$
Achsabstand	s_{cr}	[mm]	$3 \cdot h_{ef}$
Minimaler Achsabstand	s_{min}	[mm]	100

¹⁾ $c_{min,v,II}$ für Querkzugbelastung parallel zum freien Rand; $c_{min,v,\perp}$ für Querkzugbelastung senkrecht zum freien Rand

Tabelle C5: Gruppenfaktor für Ankergruppen unter Zugbelastung

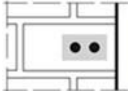
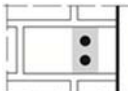
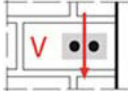
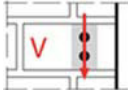
Anordnung		mit c [mm] \geq	mit s [mm] \geq			
II: Ankeranordnung parallel zur Lagerfuge		125 (M8:120)	100	$\alpha_{g,N,II}$	[-]	1,8
		$1,5 \cdot h_{ef}$	$3 \cdot h_{ef}$			2,0
⊥: Ankeranordnung senkrecht zur Lagerfuge		75	100	$\alpha_{g,N,\perp}$	[-]	1,4
		$1,5 \cdot h_{ef}$	$3 \cdot h_{ef}$			2,0

Tabelle C6: Gruppenfaktor für Ankergruppen unter Querkzugbelastung parallel zum freien Rand

Anordnung		mit c [mm] \geq	mit s [mm] \geq			
II: Ankeranordnung parallel zur Lagerfuge		75	100	$\alpha_{g,V,II}$	[-]	1,2
		$1,5 \cdot h_{ef}$	$3 \cdot h_{ef}$			2,0
⊥: Ankeranordnung senkrecht zur Lagerfuge		$1,5 \cdot h_{ef}$	$3 \cdot h_{ef}$	$\alpha_{g,V,\perp}$	[-]	2,0

Injektionssystem VMU plus für Mauerwerk

Leistungen - Porenbeton – ACC6

Beschreibung des Steins, Achs- und Randabstände, Gruppenfaktoren

Anhang C4

Steintyp: Porenbeton – AAC6

Tabelle C7: Gruppenfaktor für Ankergruppen unter Querkzugbelastung senkrecht zum freien Rand

Anordnung		mit c [mm] ≥	mit s [mm] ≥			
II: Ankeranordnung parallel zur Lagerfuge		1,5*hef	3,0*hef	$\alpha_{g,V,II}$	[-]	2,0
I: Ankeranordnung senkrecht zur Lagerfuge		1,5*hef	3,0*hef	$\alpha_{g,V,I}$		2,0

Tabelle C8: Charakteristische Werte der Tragfähigkeit unter Zug- und Querkzuglast

Ankergröße	Effektive Verankerungstiefe	Charakteristischer Widerstand						
		Nutzungskategorie						
		d/d			w/w			d/d
		40°C/24°C	80°C/50°C	120°C/72°C	40°C/24°C	80°C/50°C	120°C/72°C	w/d
							w/w	
		40°C/24°C	80°C/50°C	120°C/72°C	40°C/24°C	80°C/50°C	120°C/72°C	Alle Temperaturbereiche
hef		$N_{Rk,b} = N_{Rk,p}^{1)}$			$N_{Rk,b} = N_{Rk,p}^{1)}$			$V_{Rk,b}^{2)3)}$
[mm]		[kN]						
Druckfestigkeit $f_b \geq 6 \text{ N/mm}^2$								
M8	80	2,5 (2,0)	2,5 (1,5)	2,0 (1,2)	2,5 (1,5)	2,0 (1,5)	1,5 (1,2)	6,0
M10/IG-M6	90	4,0 (2,5)	3,0 (2,0)	2,5 (1,5)	3,5 (2,5)	3,0 (2,0)	2,5 (1,5)	10,0
M12/IG-M8	100	5,0 (3,5)	4,0 (3,0)	3,0 (2,5)	4,5 (3,0)	3,5 (2,5)	3,0 (2,5)	10,0
M16/IG-M10	100	6,5 (4,5)	5,5 (3,5)	4,0 (3,0)	5,5 (4,0)	5,0 (3,5)	4,0 (3,0)	10,0

1) Werte gültig für c_{cr} , Werte in Klammern gültig für Einzelanker mit c_{min}

2) Für die Bemessung von $V_{Rk,c}$ siehe ETAG029, Anhang C;

3) Die Werte gelten für Stahl 5.6 oder höher. Für Stahl 4.6 und 4.8 ist $V_{Rk,b}$ mit 0,8 zu multiplizieren.

Tabelle C9: Verschiebungen

Ankergröße	hef	N	δ_N / N	δ_{N0}	$\delta_{N\infty}$	V	δ_{V0}	$\delta_{V\infty}$
	[mm]	[kN]	[mm/kN]	[mm]	[mm]	[kN]	[mm]	[mm]
M8	80	0,9	0,18	0,16	0,32	1,3	0,8	1,20
M10/IG-M6	90	1,4		0,26	0,51	1,8	1,2	1,80
M12/IG-M8	100	1,8	0,08	0,14	0,29	2,1	1,4	2,10
M16/IG-M10	100	2,3		0,19	0,37	2,3	1,5	2,25

Injektionssystem VMU plus für Mauerwerk

Leistungen - Porenbeton – ACC6

Gruppenfaktoren, Charakteristische Werte der Tragfähigkeit, Verschiebungen

Anhang C5

Steintyp: Kalksandvollstein KS-NF

Tabelle C10: Beschreibung des Steins

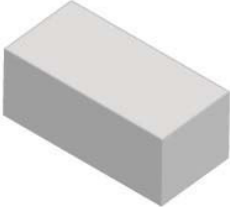
Steintyp	Kalksandvollstein KS-NF		
Dichte ρ [kg/dm ³]	2,0		
Druckfestigkeit $f_b \geq$ [N/mm ²]	10, 20 oder 27		
Code	EN 771-2		
Hersteller (Ländercode)	z.B. Wemding (DE)		
Steinabmessungen [mm]	240 x 115 x 71		
Bohrverfahren	Hammer		

Tabelle C11: Achs- und Randabstände

Ankergröße			Alle Größen
Randabstand	c_{cr}	[mm]	$1,5 \cdot h_{ef}$
Minimaler Randabstand	c_{min}	[mm]	60
Achsabstand	s_{cr}	[mm]	$3 \cdot h_{ef}$
Minimaler Achsabstand	s_{min}	[mm]	120

Tabelle C12: Gruppenfaktor für Ankergruppen unter Zugbelastung

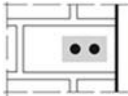
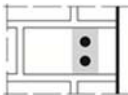
Anordnung		mit c [mm] \geq	mit s [mm] \geq			
II: Ankeranordnung parallel zur Lagerfuge		60	120	$\alpha_{g,N,II}$	[-]	1,0
		140	120			1,5
		$1,5 \cdot h_{ef}$	$3 \cdot h_{ef}$			2,0
⊥: Ankeranordnung senkrecht zur Lagerfuge		60	120	$\alpha_{g,N,\perp}$	[-]	0,5
		$1,5 \cdot h_{ef}$	120			1,0
		$1,5 \cdot h_{ef}$	$3 \cdot h_{ef}$			2,0

Tabelle C13: Gruppenfaktor für Ankergruppen unter Querkzugbelastung parallel zum freien Rand

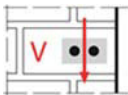
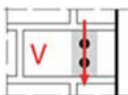
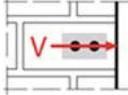
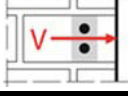
Anordnung		mit c [mm] \geq	mit s [mm] \geq			
II: Ankeranordnung parallel zur Lagerfuge		60	120	$\alpha_{g,V,II}$	[-]	1,0
		115	120			1,7
		$1,5 \cdot h_{ef}$	$3 \cdot h_{ef}$			2,0
⊥: Ankeranordnung senkrecht zur Lagerfuge		60	120	$\alpha_{g,V,\perp}$	[-]	1,0
		$1,5 \cdot h_{ef}$	120			1,0
		$1,5 \cdot h_{ef}$	$3 \cdot h_{ef}$			2,0

Tabelle C14: Gruppenfaktor für Ankergruppen unter Querkzugbelastung senkrecht zum freien Rand

Anordnung		mit c [mm] \geq	mit s [mm] \geq			
II: Ankeranordnung parallel zur Lagerfuge		60	120	$\alpha_{g,V,II}$	[-]	1,0
		$1,5 \cdot h_{ef}$	$3 \cdot h_{ef}$			2,0
⊥: Ankeranordnung senkrecht zur Lagerfuge		60	120	$\alpha_{g,V,\perp}$	[-]	1,0
		$1,5 \cdot h_{ef}$	$3 \cdot h_{ef}$			2,0

Injektionssystem VMU plus für Mauerwerk

Leistungen - Kalksandvollstein KS-NF

Beschreibung des Steins, Rand- und Achsabstände, Gruppenfaktoren

Anhang C6

Steintyp: Kalksandvollstein KS-NF

Tabelle C15: Charakteristische Werte der Tragfähigkeit unter Zug- und Querkzuglast

Ankergröße	Siebhülse	Effektive Verankerungstiefe	Charakteristischer Widerstand						
			Nutzungskategorie						
			d/d			w/d			d/d
			w/w			w/w			w/w
			40°C/24°C	80°C/50°C	120°C/72°C	40°C/24°C	80°C/50°C	120°C/72°C	Alle Temperaturbereiche
hef	N _{Rk,b} = N _{Rk,p} ¹⁾			N _{Rk,b} = N _{Rk,p} ¹⁾			V _{Rk,b} ²⁾³⁾		
[mm]	[kN]								
Druckfestigkeit f_b ≥ 10 N/mm²									
M8	-	80							2,5 (1,5)
M10 / IG-M6	-	90	4,5 (2,0)	4,5 (2,0)	3,0 (1,5)	3,5 (1,5)	3,5 (1,5)	2,5 (1,2)	3,0 (2,0)
M12 / IG-M8	-	100							2,5 (1,5)
M16 / IG-M10	-	100	3,5 (1,5)	3,5 (1,5)	2,5 (1,2)	3,0 (1,5)	3,5 (1,5)	2,0 (0,9)	2,5 (1,5)
M8	12x80	80	3,5 (1,5)	3,5 (1,5)	2,5 (1,2)	3,5 (1,5)	3,0 (1,5)	2,5 (1,2)	2,5 (1,5)
M8 / M10 / IG-M6	16x85	85	3,5 (1,5)	3,0 (1,5)	2,0 (0,9)	3,5 (1,5)	3,0 (1,5)	2,5 (1,2)	2,5 (1,5)
	16x130	130	3,5 (1,5)	3,0 (1,5)	2,0 (0,9)	3,5 (1,5)	3,0 (1,5)	2,5 (1,2)	2,5 (1,5)
M12 / M16 / IG-M8 / IG-M10	20x85	85							
	20x130	130	3,0 (1,5)	2,5 (1,2)	2,0 (0,9)	3,0 (1,5)	2,5 (1,2)	2,0 (0,9)	2,5 (1,5)
	20x200	200							
Druckfestigkeit f_b ≥ 20 N/mm²									
M8	-	80							4,0 (2,5)
M10 / IG-M6	-	90	6,0 (3,0)	5,5 (2,5)	4,0 (2,0)	5,0 (2,5)	5,0 (2,5)	3,5 (1,5)	4,5 (2,5)
M12 / IG-M8	-	100							4,0 (2,5)
M16 / IG-M10	-	100	5,0 (2,5)	5,0 (2,5)	3,5 (1,5)	5,0 (2,5)	5,0 (2,5)	3,5 (1,5)	4,0 (2,5)
M8	12x80	80	5,5 (2,5)	5,0 (2,5)	3,5 (1,5)	4,5 (2,0)	4,5 (2,0)	3,0 (1,5)	4,0 (2,5)
M8 / M10 / IG-M6	16x85	85	5,0 (2,5)	4,5 (2,0)	3,5 (1,5)	5,0 (2,5)	4,5 (2,0)	3,5 (1,5)	4,0 (2,5)
	16x130	130	5,0 (2,5)	4,5 (2,0)	3,5 (1,5)	5,0 (2,5)	4,5 (2,0)	3,5 (1,5)	4,0 (2,5)
M12 / M16 / IG-M8 / IG-M10	20x85	85							
	20x130	130	4,0 (2,0)	4,0 (2,0)	3,0 (1,5)	4,0 (2,0)	4,0 (2,0)	3,0 (1,5)	4,0 (2,5)
	20x200	200							

- 1) Werte gültig für c_{cr}, Werte in Klammern gültig für Einzelanker mit c_{min}
 2) Für c_{cr} Bemessung von V_{Rk,c} siehe ETAG 029, Anhang C; Werte in Klammern V_{Rk,c} = V_{Rk,b} gültig für Einzelanker mit c_{min}
 3) Die Werte gelten für Stahl 5.6 oder höher. Für Stahl 4.6 und 4.8 ist V_{Rk,b} mit 0,8 zu multiplizieren.

Injektionssystem VMU plus für Mauerwerk

Leistungen- Kalksandvollstein KS-NF
 Charakteristische Werte der Tragfähigkeit

Anhang C7

Steintyp: Kalksandvollstein KS-NF

Tabelle C16: Charakteristische Werte der Tragfähigkeit unter Zug- und Querkraftlast (Fortsetzung)

Ankergröße	Siebhülse	Effektive Verankerungstiefe	Charakteristischer Widerstand						
			Nutzungskategorie						
			d/d			w/d			d/d
			w/w			w/w			w/w
			40°C/24°C	80°C/50°C	120°C/72°C	40°C/24°C	80°C/50°C	120°C/72°C	Alle Temperaturbereiche
$N_{Rk,b} = N_{Rk,p}^{1)}$			$N_{Rk,b} = N_{Rk,p}^{1)}$			$V_{Rk,b}^{2)3)}$			
		hef	[kN]						
		[mm]							
Druckfestigkeit $f_b \geq 27 \text{ N/mm}^2$									
M8	-	80							4,5 (2,5)
M10 / IG-M6	-	90	7,0 (3,5)	6,5 (3,0)	5,0 (2,5)	6,0 (3,0)	5,5 (2,5)	4,0 (2,0)	5,5 (3,0)
M12 / IG-M8	-	100							4,5 (2,5)
M16 / IG-M10	-	100	6,0 (3,0)	5,5 (2,5)	4,5 (2,0)	6,0 (3,0)	5,5 (2,5)	4,0 (2,0)	4,5 (2,5)
M8	12x80	80	6,5 (3,0)	6,0 (3,0)	4,5 (2,0)	5,5 (2,5)	5,0 (2,5)	3,5 (1,5)	4,5 (2,5)
M8 / M10 / IG-M6	16x85	85	5,5 (2,5)	5,0 (2,5)	4,0 (2,0)	5,5 (2,5)	5,0 (2,5)	4,0 (2,0)	4,5 (2,5)
	16x130	130	5,5 (2,5)	5,0 (2,5)	4,0 (2,0)	5,5 (2,5)	5,0 (2,5)	4,0 (2,0)	4,5 (2,5)
M12 / M16 / IG-M8 / IG-M10	20x85	85	5,0 (2,5)	4,5 (2,0)	3,5 (1,5)	5,0 (2,5)	4,5 (2,0)	3,5 (1,5)	4,5 (2,5)
	20x130	130							
	20x200	200							

- 1) Werte gültig für c_{cr} , Werte in Klammern gültig für Einzelanker mit c_{min}
 2) Für c_{cr} Bemessung von $V_{Rk,c}$ siehe ETAG 029, Anhang C; Werte in Klammern $V_{Rk,c} = V_{Rk,b}$ gültig für Einzelanker mit c_{min}
 3) Die Werte gelten für Stahl 5.6 oder höher. Für Stahl 4.6 und 4.8 ist $V_{Rk,b}$ mit 0,8 zu multiplizieren.

Tabelle C17: Verschiebungen

Ankergröße	Siebhülse	hef	N	δ_N / N	δ_{N0}	$\delta_{N\infty}$	V	δ_{V0}	$\delta_{V\infty}$
		[mm]							
M8	-	80	2,0	0,15	0,30	0,60	1,7	0,90	1,35
M10 / IG-M6	-	90							
M12 / IG-M8	-	100							
M16 / IG-M10	-	100	1,7		0,26	0,51	1,7	0,90	1,35
M8 / M10 / IG-M6	12x80	80	1,4		0,21	0,43			
	16x85	85							
M12 / M16 / IG-M8 / IG-M10	16x130	130			0,19	0,39			
	20x85	85	1,3						
	20x130	130							
	20x200	200							

Injektionssystem VMU plus für Mauerwerk

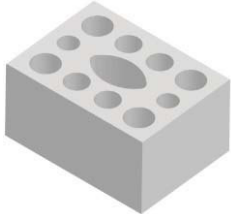
Leistungen - Kalksandvollstein KS-NF

Charakteristische Werte der Tragfähigkeit (Fortsetzung), Verschiebungen

Anhang C8

Steintyp: Kalksandlochstein KSL-3DF

Tabelle C18: Beschreibung des Steins

Steintyp	Kalksandlochstein KSL-3DF		
Dichte	ρ [kg/dm ³]	1,4	
Druckfestigkeit	$f_b \geq$ [N/mm ²]	8, 12 oder 14	
Code	EN 771-2		
Hersteller (Ländercode)	z.B. Wemding (DE)		
Steinabmessungen	[mm]	240 x 175 x 113	
Bohrverfahren	Drehend		

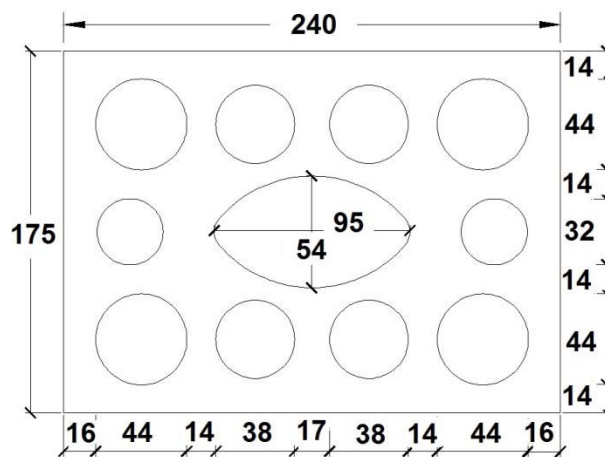
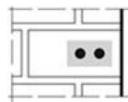
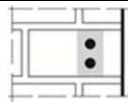


Tabelle C19: Rand- und Achsabstände

Ankergröße		Alle Größen	
Randabstand	C_{cr} [mm]	100 (120) ¹⁾	
Minimaler Randabstand	C_{min} [mm]	60	
Achsabstand	$S_{cr,II}$ [mm]	240	
	$S_{cr,\perp}$ [mm]	120	
Minimaler Achsabstand	S_{min} [mm]	120	

¹⁾ Werte in Klammern für VM-SH 20x85; VM-SH 20x130 und VM-SH 20x200

Tabelle C20: Gruppenfaktor für Ankergruppen unter Zugbelastung

Anordnung		mit c [mm] \geq	mit s [mm] \geq			
II: Ankeranordnung parallel zur Lagerfuge		60	120	$\alpha_{g,N,II}$	[-]	1,5
		C_{cr}	240			2,0
		160	120			2,0
⊥: Ankeranordnung senkrecht zur Lagerfuge		60	120	$\alpha_{g,N,\perp}$	[-]	1,0
		C_{cr}	120			2,0

Injektionssystem VMU plus für Mauerwerk

Leistungen - Kalksandvollstein KSL-3DF
Beschreibung des Steins, Rand- und Achsabstände, Gruppenfaktoren

Anhang C9

Steintyp: Kalksandlochstein KSL-3DF

Tabelle C21: Gruppenfaktor für Ankergruppen unter Querkzugbelastung parallel zum freien Rand

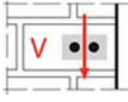
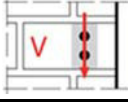
Anordnung		mit c [mm] ≥	mit s [mm] ≥			
II: Ankeranordnung parallel zur Lagerfuge		60	120	$\alpha_{g,V,II}$	[-]	1,0
		160	120			1,6
		c_{cr}	240			2,0
⊥: Ankeranordnung senkrecht zur Lagerfuge		60	120	$\alpha_{g,V,\perp}$	[-]	1,0
		c_{cr}	120			2,0

Tabelle C22: Gruppenfaktor für Ankergruppen unter Querkzugbelastung senkrecht zum freien Rand

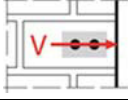
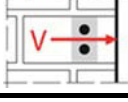
Anordnung		mit c [mm] ≥	mit s [mm] ≥			
II: Ankeranordnung parallel zur Lagerfuge		60	120	$\alpha_{g,V,II}$	[-]	1,0
		c_{cr}	240			2,0
⊥: Ankeranordnung senkrecht zur Lagerfuge		60	120	$\alpha_{g,V,\perp}$	[-]	1,0
		c_{cr}	120			2,0

Tabelle C23: Charakteristische Werte der Tragfähigkeit unter Zug- und Querkzuglast

Ankergröße	Siebhülse	Effektive Verankerungstiefe	Charakteristischer Widerstand						
			Nutzungskategorie						
			d/d			w/d; w/w			d/d; w/d; w/w
			40°C/24°C	80°C/50°C	120°C/72°C	40°C/24°C	80°C/50°C	120°C/72°C	Alle Temperaturbereiche
		h_{ef}	$N_{Rk,b} = N_{Rk,p}^{1)}$			$N_{Rk,b} = N_{Rk,p}^{1)}$			$V_{Rk,b}^{4)}$
		[mm]	[kN]						
Druckfestigkeit $f_b \geq 8 \text{ N/mm}^2$									
M8	12x80	80					1,2	0,9	$2,5^{2)}$ ($0,9^{3)}$
M8 / M10 / IG-M6	16x85	85	1,5	1,5	1,2	1,5	1,5	1,2	$4,0^{2)}$ ($1,5^{3)}$
	16x130	130					1,5	1,2	$4,0^{2)}$ ($1,5^{3)}$
M12 / M16 / IG-M8 / IG-M10	20x85	85							
	20x130	130	4,5	4,0	3,0	4,5	4,0	3,0	$4,0^{2)}$ ($1,5^{3)}$
	20x200	200							
Druckfestigkeit $f_b \geq 12 \text{ N/mm}^2$									
M8	12x80	80	2,0	2,0	1,5	2,0	1,5	1,2	$3,0^{2)}$ ($1,2^{3)}$
M8 / M10 / IG-M6	16x85	85	2,0	2,0	1,5	2,0	2,0	1,5	$4,5^{2)}$ ($1,5^{3)}$
	16x130	130	2,5	2,5	1,5	2,5	2,5	1,5	$4,5^{2)}$ ($1,5^{3)}$
M12 / M16 / IG-M8 / IG-M10	20x85	85							
	20x130	130	6,0	5,5	4,0	6,0	5,5	4,0	$4,5^{2)}$ ($1,5^{3)}$
	20x200	200							

1) Werte gültig für c_{cr} und c_{min}

2) $V_{Rk,c,II} = V_{Rk,b}$ gültig für Querkzuglasten parallel zum freien Rand

3) $V_{Rk,c,\perp} = V_{Rk,b}$ (Klammerwert) gültig für Querkzuglasten in Richtung zum freien Rand

4) Die Werte gelten für Stahl 5.6 oder höher. Für Stahl 4.6 und 4.8 ist $V_{Rk,b}$ mit 0,8 zu multiplizieren

Injektionssystem VMU plus für Mauerwerk

Leistungen - Kalksandvollstein KSL-3DF
Gruppenfaktoren, Charakteristische Werte der Tragfähigkeit

Anhang C10

Steintyp: Kalksandlochstein KSL-3DF

Tabelle C24: Charakteristische Werte der Tragfähigkeit unter Zug- und Querzuglast (Fortsetzung)

Ankergröße	Siebhülse	Effektive Verankerungstiefe	Charakteristischer Widerstand						
			Nutzungskategorie						
			d/d			w/d; w/w			d/d; w/d; w/w
			40°C/24°C	80°C/50°C	120°C/72°C	40°C/24°C	80°C/50°C	120°C/72°C	Alle Temperaturbereiche
h_{ef}	$N_{Rk,b} = N_{Rk,p}^{1)}$			$N_{Rk,b} = N_{Rk,p}^{1)}$			$V_{Rk,b}^{4)}$		
		[mm]	[kN]						
Druckfestigkeit $f_b \geq 14 \text{ N/mm}^2$									
M8	12x80	80	2,5	2,5	1,5	2,0	2,0	1,5	3,5 ²⁾ (1,5) ³⁾
M8 / M10 / IG-M6	16x85	85	2,5	2,5	1,5	2,5	2,5	1,5	6,0 ²⁾ (2,0) ³⁾
	16x130	130	2,5	2,5	2,0	2,5	2,5	2,0	6,0 ²⁾ (2,0) ³⁾
M12 / M16 / IG-M8 / IG-M10	20x85	85	6,5	6,0	4,5	6,5	6,0	4,5	6,0 ²⁾ (2,0) ³⁾
	20x130	130							
	20x200	200							

- 1) Werte gültig für C_{cr} und C_{min}
- 2) $V_{Rk,c,II} = V_{Rk,b}$ gültig für Querzuglasten parallel zum freien Rand
- 3) $V_{Rk,c,I} = V_{Rk,b}$ (Klammerwert) gültig für Querzuglasten in Richtung zum freien Rand
- 4) Die Werte gelten für Stahl 5.6 oder höher. Für Stahl 4.6 und 4.8 ist $V_{Rk,b}$ mit 0,8 zu multiplizieren

Tabelle C25: Verschiebungen

Ankergröße	Siebhülse	h_{ef}	N	δ_N / N	δ_{N0}	$\delta_{N\infty}$	V	δ_{V0}	$\delta_{V\infty}$
		[mm]	[kN]	[mm/kN]	[mm]	[mm]	[kN]	[mm]	[mm]
M8	12x80	80	0,71	0,90	0,64	1,29	1,0	1,0	1,50
M8 / M10 / IG-M6	16x85	85							
		16x130	130						
M12 / M16 / IG-M8 / IG-M10	20x85	85	1,86		1,67	3,34	1,7	1,9	2,85
	20x130	130							
	20x200	200							

Injektionssystem VMU plus für Mauerwerk

Leistungen - Kalksandvollstein KSL-3DF
Charakteristische Werte der Tragfähigkeit, Verschiebungen

Anhang C11

Steintyp: Kalksandlochstein KSL-12DF

Tabelle C26: Beschreibung des Steins

Steintyp	Kalksandlochstein KSL-12DF		
Dichte	ρ [kg/dm ³]	1,4	
Druckfestigkeit	$f_b \geq$ [N/mm ²]	10, 12 oder 16	
Code	EN 771-2		
Hersteller (Ländercode)	z.B. Wemding (DE)		
Steinabmessungen	[mm]	498 x 175 x 238	
Bohrverfahren	Drehend		

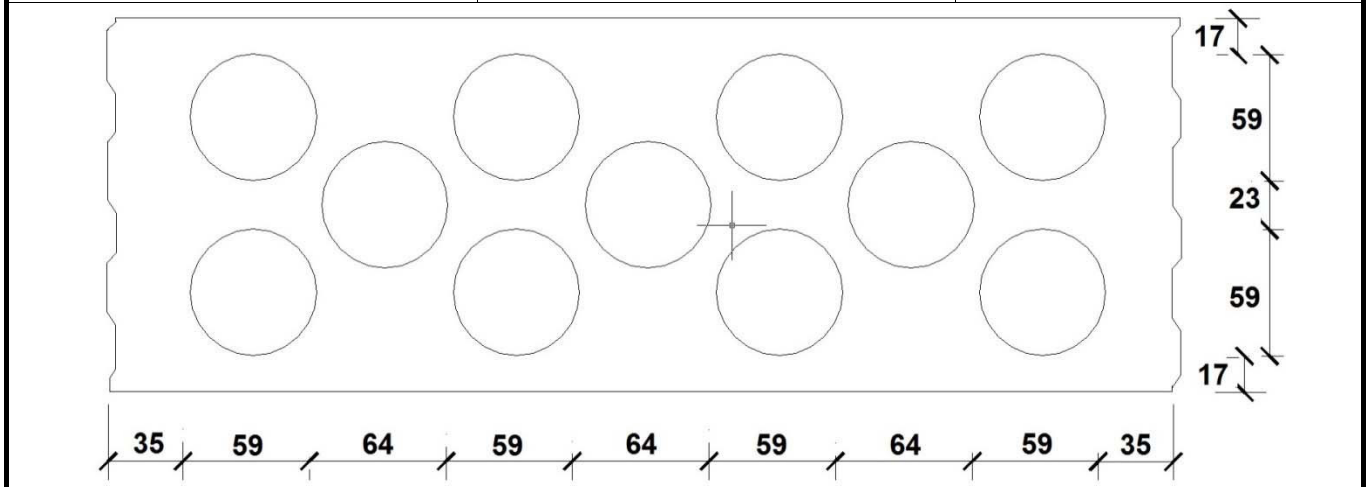


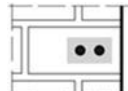
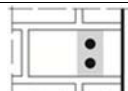
Tabelle C27: Rand- und Achsabstände

Ankergröße			Alle Größen
Randabstand	c_{cr}	[mm]	100 (120) ¹⁾
Minimaler Randabstand	$c_{min}^{2)}$	[mm]	100 (120) ¹⁾
Achsabstand	$s_{cr,II}$	[mm]	498
	$s_{cr,\perp}$	[mm]	238
Minimaler Achsabstand	s_{min}	[mm]	120

1) Werte in Klammern für VM-SH 20x85 und VM-SH 20x130

2) Für $V_{Rk,c}$: c_{min} gemäß ETAG 029, Anhang C

Tabelle C28: Gruppenfaktor für Ankergruppen unter Zugbelastung

Anordnung		mit c [mm] \geq	mit s [mm] \geq			
II: Ankeranordnung parallel zur Lagerfuge		100	120	$\alpha_{g,N,II}$	[-]	1,0
		c_{cr}	498			2,0
⊥: Ankeranordnung senkrecht zur Lagerfuge		100	120	$\alpha_{g,N,\perp}$	[-]	1,0
		c_{cr}	238			2,0

Injektionssystem VMU plus für Mauerwerk

Leistungen - Kalksandvollstein KSL-12DF
Beschreibung des Steins, Rand- und Achsabstände, Gruppenfaktoren

Anhang C12

Steintyp: Kalksandlochstein KSL-12DF

Tabelle C29: Gruppenfaktor für Ankergruppen unter Querkzugbelastung parallel zum freien Rand

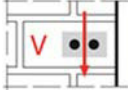
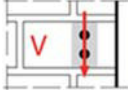
Anordnung		mit c [mm] ≥	mit s [mm] ≥			
II: Ankeranordnung parallel zur Lagerfuge		c_{cr}	498	$\alpha_{g,V,II}$	[-]	2,0
I: Ankeranordnung senkrecht zur Lagerfuge		c_{cr}	238	$\alpha_{g,V,I}$		2,0

Tabelle C30: Gruppenfaktor für Ankergruppen unter Querkzugbelastung senkrecht zum freien Rand

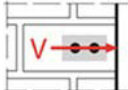
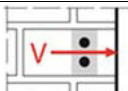
Anordnung		mit c [mm] ≥	mit s [mm] ≥			
II: Ankeranordnung parallel zur Lagerfuge		c_{cr}	498	$\alpha_{g,V,II}$	[-]	2,0
I: Ankeranordnung senkrecht zur Lagerfuge		c_{cr}	238	$\alpha_{g,V,I}$		2,0

Tabelle C31: Charakteristische Werte der Tragfähigkeit unter Zug- und Querkzuglast

Ankergröße	Siebhülse	Effektive Verankerungstiefe	Charakteristischer Widerstand						
			Nutzungskategorie						
			d/d			w/d; w/w			d/d w/d w/w
			40°C/24°C	80°C/50°C	120°C/72°C	40°C/24°C	80°C/50°C	120°C/72°C	Alle Temperaturbereiche
h_{ef}	$N_{Rk,b} = N_{Rk,p}^{1)}$			$N_{Rk,b} = N_{Rk,p}^{1)}$			$V_{Rk,b}^{2)3)}$		
		[mm]	[kN]						
Druckfestigkeit $f_b \geq 10 \text{ N/mm}^2$									
M8	12x80	80	0,6	0,6	0,4	0,5	0,5	0,4	2,5
M8 / M10 / IG-M6	16x85	85	0,6	0,6	0,4	0,6	0,6	0,4	5,5
	16x130	130	2,5	2,5	2,0	2,5	2,5	2,0	5,5
M12 / M16 / IG-M8 / IG-M10	20x85	85	1,5	1,5	0,9	1,5	1,5	0,9	5,5
	20x130	130	2,5	2,5	2,0	2,5	2,5	2,0	5,5
Druckfestigkeit $f_b \geq 12 \text{ N/mm}^2$									
M8	12x80	80	0,75	0,6	0,5	0,6	0,6	0,4	3,0
M8 / M10 / IG-M6	16x85	85	0,75	0,6	0,5	0,75	0,6	0,5	6,5
	16x130	130	3,0	3,0	2,0	3,0	3,0	2,0	6,5
M12 / M16 / IG-M8 / IG-M10	20x85	85	1,5	1,5	1,2	1,5	1,5	1,2	6,5
	20x130	130	3,0	3,0	2,0	3,0	3,0	2,0	6,5

1) Werte gültig für c_{cr} und c_{min}

2) Bemessung von $V_{Rk,c}$ siehe ETAG 029, Anhang C, außer für Querkzugbelastung parallel zum freien Rand mit $c \geq 120 \text{ mm}$: $V_{Rk,c,II} = V_{Rk,b}$

3) Die Werte gelten für Stahl 5.6 oder höher. Für Stahl 4.6 und 4.8 ist $V_{Rk,b}$ mit 0,8 zu multiplizieren

Injektionssystem VMU plus für Mauerwerk

Leistungen - Kalksandvollstein KSL-12DF
Gruppenfaktoren, Charakteristische Werte der Tragfähigkeit

Anhang C13

Steintyp: Kalksandlochstein KSL-12DF

Tabelle C32: Charakteristische Werte der Tragfähigkeit unter Zug- und Querzuglast (Fortsetzung)

Ankergröße	Siebhülse	Effektive Verankerungstiefe	Charakteristischer Widerstand							Alle Temperaturbereiche
			Nutzungskategorie							
			d/d			w/d; w/w			d/d w/d w/w	
			40°C/24°C	80°C/50°C	120°C/72°C	40°C/24°C	80°C/50°C	120°C/72°C		
		h _{ef}	N _{RK,b} = N _{RK,p} ¹⁾			N _{RK,b} = N _{RK,p} ¹⁾			V _{RK,b} ²⁾³⁾	
		[mm]	[kN]							
Druckfestigkeit f_b ≥ 16 N/mm²										
M8	12x80	80	0,9	0,9	0,6	0,75	0,75	0,5	3,5	
M8 / M10 / IG-M6	16x85	85	0,9	0,9	0,6	0,9	0,9	0,6	8,0	
	16x130	130	4,0	3,5	2,5	4,0	3,5	2,5	8,0	
M12 / M16 / IG-M8 / IG-M10	20x85	85	2,0	2,0	1,5	2,0	2,0	1,5	8,0	
	20x130	130	4,0	3,5	2,5	4,0	3,5	2,5	8,0	

¹⁾ Werte gültig für C_{cr} und C_{min}

²⁾ Bemessung von V_{RK,c} siehe ETAG 029, Anhang C, außer für Querzugbelastung parallel zum freien Rand mit c ≥ 120 mm: V_{RK,c,II} = V_{RK,b}

³⁾ Die Werte gelten für Stahl 5.6 oder höher. Für Stahl 4.6 und 4.8 ist V_{RK,b} mit 0,8 zu multiplizieren

Tabelle C33: Verschiebungen

Ankergröße	Siebhülse	h _{ef}	N	δ _N / N	δ _{N0}	δ _{N∞}	V	δ _{v0}	δ _{v∞}
		[mm]	[kN]	[mm/kN]	[mm]	[mm]	[kN]	[mm]	[mm]
M8	12x80	80	0,26	0,90	0,23	0,46	1,0	1,3	1,95
M8 / M10 / IG-M6	16x85	85			1,03	2,06			
	16x130	130	2,3				2,5	3,75	
M12 / M16 / IG-M8 / IG-M10	20x85	85			0,57	0,51			1,03
	20x130	130	1,14	1,03	2,06				

Injektionssystem VMU plus für Mauerwerk

Leistungen - Kalksandvollstein KSL-12DF
Charakteristische Werte der Tragfähigkeit, Verschiebungen

Anhang C14

Steintyp: Mauerziegel Mz-DF

Tabelle C34: Beschreibung des Steins

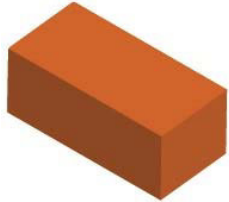
Steintyp		Mauerziegel Mz-DF	
Dichte	ρ [kg/dm ³]	1,6	
Druckfestigkeit	$f_b \geq$ [N/mm ²]	10, 20 oder 28	
Code		EN 771-1	
Hersteller (Ländercode)		z.B. Unipor (DE)	
Steinabmessungen	[mm]	240 x 115 x 55	
Bohrverfahren		Hammer	

Tabelle C35: Rand- und Achsabstände

Ankergröße			Alle Größen
Randabstand	c_{cr}	[mm]	$1,5 \cdot h_{ef}$
Minimaler Randabstand	c_{min}	[mm]	60
Achsabstand	s_{cr}	[mm]	$3 \cdot h_{ef}$
Minimaler Achsabstand	s_{min}	[mm]	120

Tabelle C36: Gruppenfaktor für Ankergruppen unter Zugbelastung

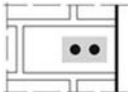
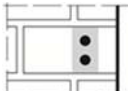
Anordnung		mit c [mm] \geq	mit s [mm] \geq			
II: Ankeranordnung parallel zur Lagerfuge		60	120	$\alpha_{g,N,II}$	[-]	0,7
		$1,5 \cdot h_{ef}$	$3 \cdot h_{ef}$			2,0
I: Ankeranordnung senkrecht zur Lagerfuge		60	120	$\alpha_{g,N,I}$	[-]	0,5
		$1,5 \cdot h_{ef}$	120			1,0
		$1,5 \cdot h_{ef}$	$3 \cdot h_{ef}$			2,0

Tabelle C37: Gruppenfaktor für Ankergruppen unter Querkzugbelastung parallel zum freien Rand

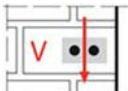
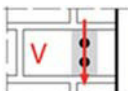
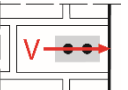
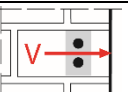
Anordnung		mit c [mm] \geq	mit s [mm] \geq			
II: Ankeranordnung parallel zur Lagerfuge		60	120	$\alpha_{g,V,II}$	[-]	0,5
		90	120			1,1
		$1,5 \cdot h_{ef}$	$3 \cdot h_{ef}$			2,0
I: Ankeranordnung senkrecht zur Lagerfuge		60	120	$\alpha_{g,V,I}$	[-]	0,5
		$1,5 \cdot h_{ef}$	120			1,0
		$1,5 \cdot h_{ef}$	$3 \cdot h_{ef}$			2,0

Tabelle C38: Gruppenfaktor für Ankergruppen unter Querkzugbelastung senkrecht zum freien Rand

Anordnung		mit c [mm] \geq	mit s [mm] \geq			
II: Ankeranordnung parallel zur Lagerfuge		60	120	$\alpha_{g,V,II}$	[-]	0,5
		$1,5 \cdot h_{ef}$	120			1,0
		$1,5 \cdot h_{ef}$	$3 \cdot h_{ef}$			2,0
I: Ankeranordnung senkrecht zur Lagerfuge		60	120	$\alpha_{g,V,I}$	[-]	0,5
		$1,5 \cdot h_{ef}$	120			1,0
		$1,5 \cdot h_{ef}$	$3 \cdot h_{ef}$			2,0

Injektionssystem VMU plus für Mauerwerk

Leistungen - Mauerziegel Mz-DF

Beschreibung des Steins, Rand- und Achsabstände, Gruppenfaktoren

Anhang C15

Steintyp: Mauerziegel Mz-DF

Tabelle C39: Charakteristische Werte der Tragfähigkeit unter Zug- und Querkraglast

Ankergröße	Siebhülse	Effektive Verankerungstiefe	Charakteristischer Widerstand			
			Nutzungskategorie			
			d/d w/d w/w			d/d w/d w/w
			40°C/24°C	80°C/50°C	120°C/72°C	Alle Temperaturbereiche
h _{ef}		N _{Rk,b} = N _{Rk,p} ¹⁾			V _{Rk,b} ²⁾³⁾	
[mm]		[kN]				
Druckfestigkeit f_b ≥ 10 N/mm²						
M8	-	80	3,5 (1,5)	3,5 (1,5)	2,5 (1,2)	3,5 (1,2)
M10 / IG-M6	-	90	3,5 (1,5)	3,5 (1,5)	3,0 (1,5)	3,5 (1,2)
M12 / IG-M8	-	100	4,0 (2,0)	4,0 (2,0)	3,5 (1,5)	3,5 (1,2)
M16 / IG-M10	-	100	4,0 (2,0)	4,0 (2,0)	3,5 (1,5)	5,5 (1,5)
M8	12x80	80	3,5 (1,5)	3,5 (1,5)	3,0 (1,2)	3,5 (1,2)
M8 / M10 / IG-M6	16x85	85	3,5 (1,5)	3,5 (1,5)	3,0 (1,5)	3,5 (1,2)
	16x130	130				
M12 / M16 / IG-M8 / IG-M10	20x85	85				
	20x130	130				
	20x200	200				
Druckfestigkeit f_b ≥ 20 N/mm²						
M8	-	80	4,5 (2,5)	4,5 (2,5)	4,0 (2,0)	5,0 (1,5)
M10 / IG-M6	-	90	5,5 (2,5)	5,5 (2,5)	4,5 (2,0)	5,0 (1,5)
M12 / IG-M8	-	100	6,0 (3,0)	6,0 (3,0)	5,0 (2,5)	5,0 (1,5)
M16 / IG-M10	-	100	6,0 (3,0)	6,0 (3,0)	5,0 (2,5)	8,0 (2,5)
M8	12x80	80	4,5 (2,5)	4,5 (2,5)	4,0 (2,0)	5,0 (1,5)
M8 / M10 / IG-M6	16x85	85	5,0 (2,5)	5,0 (2,5)	4,0 (2,0)	5,0 (1,5)
	16x130	130				
M12 / M16 / IG-M8 / IG-M10	20x85	85				
	20x130	130				
	20x200	200				
Druckfestigkeit f_b ≥ 28 N/mm²						
M8	-	80	5,5 (2,5)	5,5 (2,5)	4,5 (2,5)	5,5 (2,0)
M10 / IG-M6	-	90	6,0 (3,0)	6,0 (3,0)	5,0 (2,5)	5,5 (2,0)
M12 / IG-M8	-	100	7,0 (3,5)	7,0 (3,5)	6,0 (3,0)	5,5 (2,0)
M16 / IG-M10	-	100	7,0 (3,5)	7,0 (3,5)	6,0 (3,0)	9,0 (3,0)
M8	12x80	80	5,5 (2,5)	5,5 (2,5)	4,5 (2,5)	5,5 (2,0)
M8 / M10 / IG-M6	16x85	85	6,0 (3,0)	6,0 (3,0)	5,0 (2,5)	5,5 (2,0)
	16x130	130				
M12 / M16 / IG-M8 / IG-M10	20x85	85				
	20x130	130				
	20x200	200				

1) Werte gültig für c_{cr}, Werte in Klammern gültig für Einzelanker mit c_{min}

2) Für c_{cr} Bemessung von V_{Rk,c} siehe ETAG 029, Anhang C; Werte in Klammern V_{Rk,c} = V_{Rk,b} für Einzelanker mit c_{min}

3) Die Werte gelten für Stahl 5.6 oder höher. Für Stahl 4.6 und 4.8 ist V_{Rk,b} mit 0,8 zu multiplizieren.

Injektionssystem VMU plus für Mauerwerk

Leistungen - Mauerziegel Mz-DF
Charakteristische Werte der Tragfähigkeit

Anhang C16

Steintyp: Mauerziegel Mz-DF

Tabelle C40: Verschiebungen

Ankergröße	Sieb- hülse	h_{ef}	N	δ_N / N	δ_{N0}	$\delta_{N\infty}$	V	δ_{v0}	$\delta_{v\infty}$
		[mm]	[kN]	[mm/kN]	[mm]	[mm]	[kN]	[mm]	[mm]
M8	-	80	1,3	0,15	0,19	0,39	1,9	1,00	1,50
M10 / IG-M6	-	90	1,6		0,24	0,47			
M12 / IG-M8	-	100	1,7		0,26	0,51			
M16 / IG-M10	-	100							
M8	12x80	80	1,3	0,15	0,19	0,39	1,9	1,00	1,50
M8 / M10 / IG-M6	16x85	85							
	16x130	130							
M12 / M16 / IG-M8 / IG-M10	20x85	85							
	20x130	130							
	20x200	200							

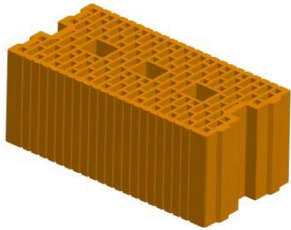
Injektionssystem VMU plus für Mauerwerk

Leistungen - Mauerziegel Mz-DF
Verschiebungen

Anhang C17

Steintyp: Hochlochziegel HLz-16-DF

Tabelle C41: Beschreibung des Steins

Steintyp	Hochlochziegel HLz-16-DF		
Dichte ρ [kg/dm ³]	0,8		
Druckfestigkeit $f_b \geq$ [N/mm ²]	6, 8, 12 oder 14		
Code	EN 771-1		
Hersteller (Ländercode)	z.B. Unipor (DE)		
Steinabmessungen [mm]	497 x 240 x 238		
Bohrverfahren	Drehend		

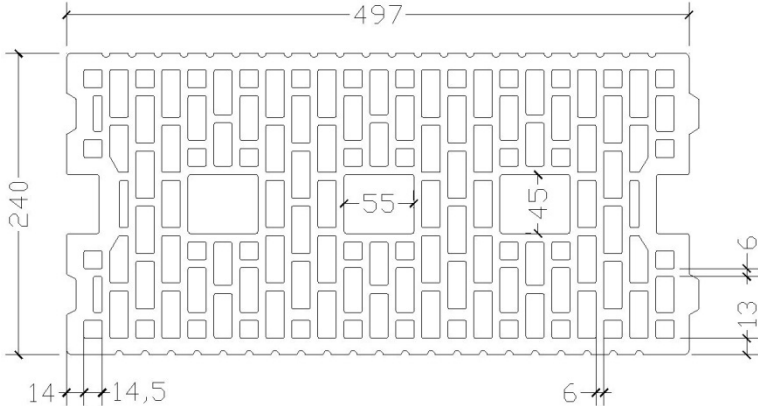


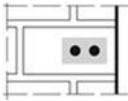
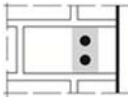
Tabelle C42: Rand- und Achsabstände

Ankergröße			Alle Größen
Randabstand	C_{cr}	[mm]	100 (120) ¹⁾
Minimaler Randabstand	$C_{min}^{2)}$	[mm]	100 (120) ¹⁾
Achsabstand	$S_{cr,II}$	[mm]	497
	$S_{cr,\perp}$	[mm]	238
Minimaler Achsabstand	S_{min}	[mm]	100

1) Werte in Klammern für VM-SH 20x85; VM-SH 20x130 und VM-SH 20x200

2) Für $V_{Rk,c}$: C_{min} gemäß ETAG 029, Anhang C

Tabelle C43: Gruppenfaktor für Ankergruppen unter Zugbelastung

Anordnung		mit c [mm] \geq	mit s [mm] \geq			
II: Ankeranordnung parallel zur Lagerfuge		C_{cr}	100	$\alpha_{g,N,II}$	[-]	1,3
		C_{cr}	497			2,0
⊥: Ankeranordnung senkrecht zur Lagerfuge		C_{cr}	100	$\alpha_{g,N,\perp}$	[-]	1,1
		C_{cr}	238			2,0

Injektionssystem VMU plus für Mauerwerk

Leistungen - Hochlochziegel HLz-16DF

Beschreibung des Steins, Rand- und Achsabstände, Gruppenfaktoren

Anhang C18

Steintyp: Hochlochziegel HLz-16-DF

Tabelle C44: Gruppenfaktor für Ankergruppen unter Querkzugbelastung parallel zum freien Rand

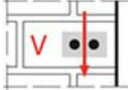
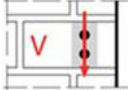
Anordnung		mit c [mm] ≥	mit s [mm] ≥			
II: Ankeranordnung parallel zur Lagerfuge		C_{cr}	497	$\alpha_{g,V,II}$	[-]	2,0
I: Ankeranordnung senkrecht zur Lagerfuge		C_{cr}	238	$\alpha_{g,V,I}$		2,0

Tabelle C45: Gruppenfaktor für Ankergruppen unter Querkzugbelastung senkrecht zum freien Rand

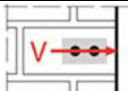
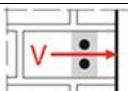
Anordnung		mit c [mm] ≥	mit s [mm] ≥			
II: Ankeranordnung parallel zur Lagerfuge		C_{cr}	497	$\alpha_{g,V,II}$	[-]	2,0
I: Ankeranordnung senkrecht zur Lagerfuge		C_{cr}	238	$\alpha_{g,V,I}$		2,0

Tabelle C46: Charakteristische Werte der Tragfähigkeit unter Zug- und Querkzuglast

Ankergröße	Siebhülse	Effektive Verankerungstiefe	Charakteristischer Widerstand			
			Nutzungskategorie			
			d/d			d/d
			w/d			w/d
w/w			w/w			
40°C/24°C			80°C/50°C	120°C/72°C	Alle Temperaturbereiche	
h_{ef}			$N_{Rk,b} = N_{Rk,p}^{1)}$			$V_{Rk,b}^{2)3)}$
[mm]			[kN]			[kN]
Druckfestigkeit $f_b \geq 6 \text{ N/mm}^2$						
M8	12x80	80	2,5	2,5	2,0	2,5
M8 / M10/ IG-M6	16x85	85	2,5	2,5	2,0	4,5
	16x130	130	3,5	3,5	3,0	4,5
M12 / M16 / IG-M8 / IG-M10	20x85	85	2,5	2,5	2,0	5,0
	20x130	130	3,5	3,5	3,0	6,0
	20x200	200	3,5	3,5	3,0	6,0
Druckfestigkeit $f_b \geq 8 \text{ N/mm}^2$						
M8	12x80	80	3,0	3,0	2,5	3,0
M8 / M10/ IG-M6	16x85	85	3,0	3,0	2,5	5,5
	16x130	130	4,5	4,5	3,5	5,5
M12 / M16 / IG-M8 / IG-M10	20x85	85	3,0	3,0	2,5	6,0
	20x130	130	4,5	4,5	3,5	7,0
	20x200	200	4,5	4,5	3,5	7,0

1) Werte gültig für C_{cr} und C_{min}

2) Bemessung von $V_{Rk,c}$ siehe ETAG 029, Anhang C, außer für Querkzugbelastung parallel zum freien Rand mit $c \geq 125 \text{ mm}$: $V_{Rk,c,II} = V_{Rk,b}$

3) Die Werte gelten für Stahl 5.6 oder höher. Für Stahl 4.6 und 4.8 ist $V_{Rk,b}$ mit 0,8 zu multiplizieren.

Injektionssystem VMU plus für Mauerwerk

Leistungen - Hochlochziegel HLz-16DF

Gruppenfaktoren, Charakteristische Werte der Tragfähigkeit

Anhang C19

Steintyp: Hochlochziegel HLz-16DF

Tabelle C47: Charakteristische Werte der Tragfähigkeit unter Zug- und Querkzuglast (Fortsetzung)

Ankergröße	Siebhülse	Effektive Verankerungstiefe	Charakteristischer Widerstand			
			Nutzungskategorie			
			d/d w/d w/w			d/d w/d w/w
			40°C/24°C	80°C/50°C	120°C/72°C	Alle Temperaturbereiche
h_{ef}	$N_{Rk,b} = N_{Rk,p}^{1)}$			$V_{Rk,b}^{2)3)}$		
[mm]	[kN]			[kN]		
Druckfestigkeit $f_b \geq 12 \text{ N/mm}^2$						
M8	12x80	80	3,5	3,5	3,0	4,0
M8 / M10/ IG-M6	16x85	85	3,5	3,5	3,0	6,5
	16x130	130	5,0	5,0	4,5	6,5
M12 / M16 / IG-M8 / IG-M10	20x85	85	3,5	3,5	3,0	7,0
	20x130	130	5,0	5,0	4,5	9,0
	20x200	200	5,0	5,0	4,5	9,0
Druckfestigkeit $f_b \geq 14 \text{ N/mm}^2$						
M8	12x80	80	4,0	4,0	3,0	4,0
M8 / M10/ IG-M6	16x85	85	4,0	4,0	3,0	6,5
	16x130	130	5,5	5,5	4,5	6,5
M12 / M16 / IG-M8 / IG-M10	20x85	85	4,0	4,0	3,0	7,0
	20x130	130	5,5	5,5	4,5	9,0
	20x200	200	5,5	5,5	4,5	9,0

1) Werte gültig für c_{cr} und c_{min}

2) Bemessung von $V_{Rk,c}$ siehe ETAG 029, Anhang C, außer für Querkzugbelastung parallel zum freien Rand mit $c \geq 125 \text{ mm}$: $V_{Rk,c,II} = V_{Rk,b}$

3) Die Werte gelten für Stahl 5.6 oder höher. Für Stahl 4.6 und 4.8 ist $V_{Rk,b}$ mit 0,8 zu multiplizieren .

Tabelle C48: Verschiebungen

Ankergröße	Siebhülse	h_{ef}	N	δ_N / N	δ_{N0}	$\delta_{N\infty}$	V	δ_{v0}	$\delta_{v\infty}$
		[mm]	[kN]	[mm/kN]	[mm]	[mm]	[kN]	[mm]	[mm]
M8	12x80	80	1,14	0,10	0,11	0,23	1,10	1,20	1,80
M8 / M10/ IG-M6	16x85	85					1,86	1,50	2,25
	16x130	130	1,57		1,50	2,25			
M12 / M16 / IG-M8 / IG-M10	20x85	85	1,14		0,11	0,23	1,86	1,50	2,25
	20x130	130	1,57		0,16	0,31	2,57	2,10	3,15
	20x200	200							

Injektionssystem VMU plus für Mauerwerk

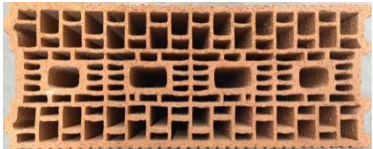
Leistungen - Hochlochziegel HLz-16DF

Charakteristische Werte der Tragfähigkeit (Fortsetzung), Verschiebungen

Anhang C20

Steintyp: Lochziegel Porotherm Homebric

Tabelle C49: Beschreibung des Steins

Steintyp	Lochziegel Porotherm Homebric		
Dichte	ρ [kg/dm ³]	0,7	
Druckfestigkeit	$f_b \geq$ [N/mm ²]	4, 6 oder 10	
Code	EN 771-1		
Hersteller (Ländercode)	z.B. Wienerberger (FR)		
Steinabmessungen	[mm]	500 x 200 x 299	
Bohrverfahren	Drehend		

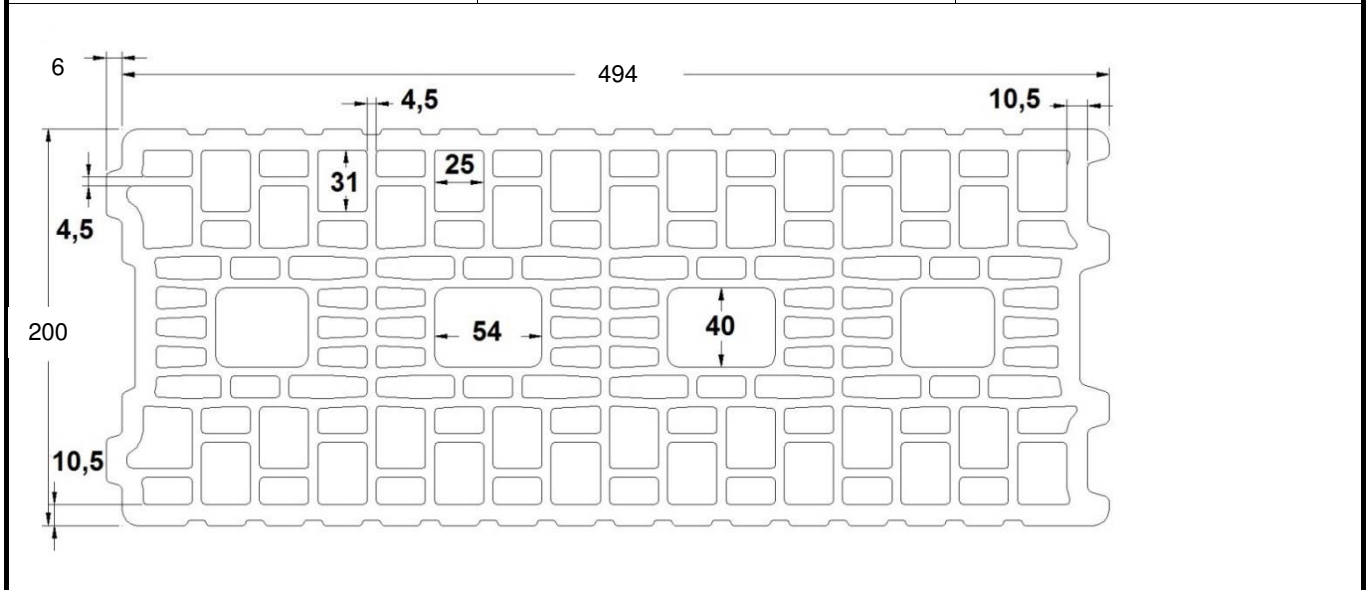


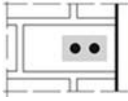
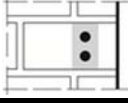
Tabelle C50: Rand- und Achsabstände

Ankergröße		Alle Größen	
Randabstand	C_{cr}	[mm]	100 (120) ¹⁾
Minimaler Randabstand	C_{min} ²⁾	[mm]	100 (120) ¹⁾
Achsabstand	$S_{cr,II}$	[mm]	500
	$S_{cr,\perp}$	[mm]	299
Minimaler Achsabstand	S_{min}	[mm]	100

1) Werte in Klammern für VM-SH 20x85 und VM-SH 20x130

2) Für $V_{Rk,c}$: C_{min} gemäß ETAG 029, Anhang C

Tabelle C51: Gruppenfaktor für Ankergruppen unter Zugbelastung

Anordnung		mit c [mm] \geq	mit s [mm] \geq			
II: Ankeranordnung parallel zur Lagerfuge		200	100	$\alpha_{g,N,II}$	[-]	2,0
		C_{cr}	500			2,0
I: Ankeranordnung senkrecht zur Lagerfuge		200	100	$\alpha_{g,N,I}$	[-]	1,2
		C_{cr}	299			2,0

Injektionssystem VMU plus für Mauerwerk

Leistungen - Lochziegel Porotherm Homebric

Beschreibung des Steins, Rand- und Achsabstände, Gruppenfaktoren

Anhang C21

Steintyp: Lochziegel Porotherm Homebric

Tabelle C52: Gruppenfaktor für Ankergruppen unter Querkzugbelastung parallel zum freien Rand

Anordnung		mit c [mm] ≥	mit s [mm] ≥			
II: Ankeranordnung parallel zur Lagerfuge		C_{Cr}	500	$\alpha_{g,V,II}$	[-]	2,0
I: Ankeranordnung senkrecht zur Lagerfuge		C_{Cr}	299	$\alpha_{g,V,I}$		2,0

Tabelle C53: Gruppenfaktor für Ankergruppen unter Querkzugbelastung senkrecht zum freien Rand

Anordnung		mit c [mm] ≥	mit s [mm] ≥			
II: Ankeranordnung parallel zur Lagerfuge		C_{Cr}	500	$\alpha_{g,V,II}$	[-]	2,0
I: Ankeranordnung senkrecht zur Lagerfuge		C_{Cr}	299	$\alpha_{g,V,I}$		2,0

Tabelle C54: Charakteristische Werte der Tragfähigkeit unter Zug- und Querkzuglast

Ankergröße	Siebhülse	Effektive Verankerungstiefe	Charakteristischer Widerstand			
			Nutzungskategorie			
			d/d			d/d
			w/d			w/d
w/w			w/w			
40°C/24°C			80°C/50°C	120°C/72°C	Alle Temperaturbereiche	
h_{ef}			$N_{Rk,b} = N_{Rk,p}^{1)}$			
[mm]			[kN]			
Druckfestigkeit $f_b \geq 4 \text{ N/mm}^2$						
M8	12x80	80	0,9	0,9	0,75	2,0
M8 / M10 / IG-M6	16x85	85	0,9	0,9	0,75	2,0
	16x130	130	1,2	1,2	0,9	2,0
M12 / M16 / IG-M8 / IG-M10	20x85	85	0,9	0,9	0,75	2,5
	20x130	130	1,2	1,2	0,9	2,5
Druckfestigkeit $f_b \geq 6 \text{ N/mm}^2$						
M8	12x80	80	0,9	0,9	0,9	2,5
M8 / M10 / IG-M6	16x85	85	0,9	0,9	0,9	2,5
	16x130	130	1,2	1,2	1,2	2,5
M12 / M16 / IG-M8 / IG-M10	20x85	85	0,9	0,9	0,9	3,0
	20x130	130	1,2	1,2	1,2	3,0

1) Werte gültig für C_{Cr} und C_{min}

2) Bemessung von $V_{Rk,c}$ siehe ETAG 029, Anhang C, außer für Querkzugbelastung parallel zum freien Rand mit $c \geq 200 \text{ mm}$: $V_{Rk,c,II} = V_{Rk,b}$

3) Die Werte gelten für Stahl 5.6 oder höher. Für Stahl 4.6 und 4.8 ist $V_{Rk,b}$ mit 0,8 zu multiplizieren

Injektionssystem VMU plus für Mauerwerk

Leistungen - Lochziegel Porotherm Homebric
Gruppenfaktoren, Charakteristische Werte der Tragfähigkeit

Anhang C22

Steintyp: Lochziegel Porotherm Homebric

Tabelle C55: Charakteristische Werte der Tragfähigkeit unter Zug- und Querkzuglast (Fortsetzung)

Ankergröße	Siebhülse	Effektive Verankerungstiefe	Charakteristischer Widerstand			
			Nutzungskategorie			
			d/d w/d w/w			d/d w/d w/w
			40°C/24°C	80°C/50°C	120°C/72°C	Alle Temperaturbereiche
h_{ef}	$N_{Rk,b} = N_{Rk,p}^{1)}$			$V_{Rk,b}^{2)3)}$		
[mm]	[kN]			[kN]		
Druckfestigkeit $f_b \geq 10 \text{ N/mm}^2$						
M8	12x80	80	1,2	1,2	1,2	3,0
M8 / M10/ IG-M6	16x85	85	1,2	1,2	1,2	3,0
	16x130	130	1,5	1,5	1,5	3,5
M12 / M16 / IG-M8 / IG-M10	20x85	85	1,2	1,2	1,2	4,0
	20x130	130	1,5	1,5	1,5	4,0

1) Werte gültig für c_{cr} und c_{min}

2) Bemessung von $V_{Rk,c}$ siehe ETAG 029, Anhang C, außer für Querkzugbelastung parallel zum freien Rand mit $c \geq 200 \text{ mm}$: $V_{Rk,c,II} = V_{Rk,b}$

3) Die Werte gelten für Stahl 5.6 oder höher. Für Stahl 4.6 und 4.8 ist $V_{Rk,b}$ mit 0,8 zu multiplizieren

Tabelle C56: Verschiebungen

Ankergröße	Siebhülse	h_{ef}	N	δ_N / N	δ_{N0}	$\delta_{N\infty}$	V	δ_{v0}	$\delta_{v\infty}$
		[mm]	[kN]	[mm/kN]	[mm]	[mm]	[kN]	[mm]	[mm]
M8	12x80	80	0,34	0,80	0,27	0,55	0,9	1,20	1,80
M8 / M10/ IG-M6	16x85	85					0,9		
	16x130	130	0,43		0,34	0,69	1,0		
M12 / M16 / IG-M8 / IG-M10	20x85	85	0,34		0,27	0,55	1,14		
	20x130	130	0,43	0,34	0,69				

Injektionssystem VMU plus für Mauerwerk

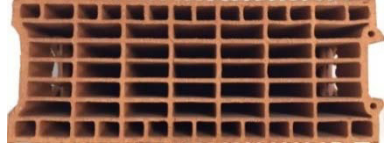
Leistungen - Lochziegel Porotherm Homebric

Charakteristische Werte der Tragfähigkeit (Fortsetzung), Verschiebungen

Anhang C23

Steintyp: Lochziegel BGV Thermo

Tabelle C57: Beschreibung des Steins

Steintyp		Lochziegel BGV Thermo	
Dichte	ρ [kg/dm ³]	0,6	
Druckfestigkeit	$f_b \geq$ [N/mm ²]	4, 6 oder 10	
Code		EN 771-1	
Hersteller (Ländercode)		z.B. Leroux (FR)	
Steinabmessungen	[mm]	500 x 200 x 314	
Bohrverfahren		Drehend	

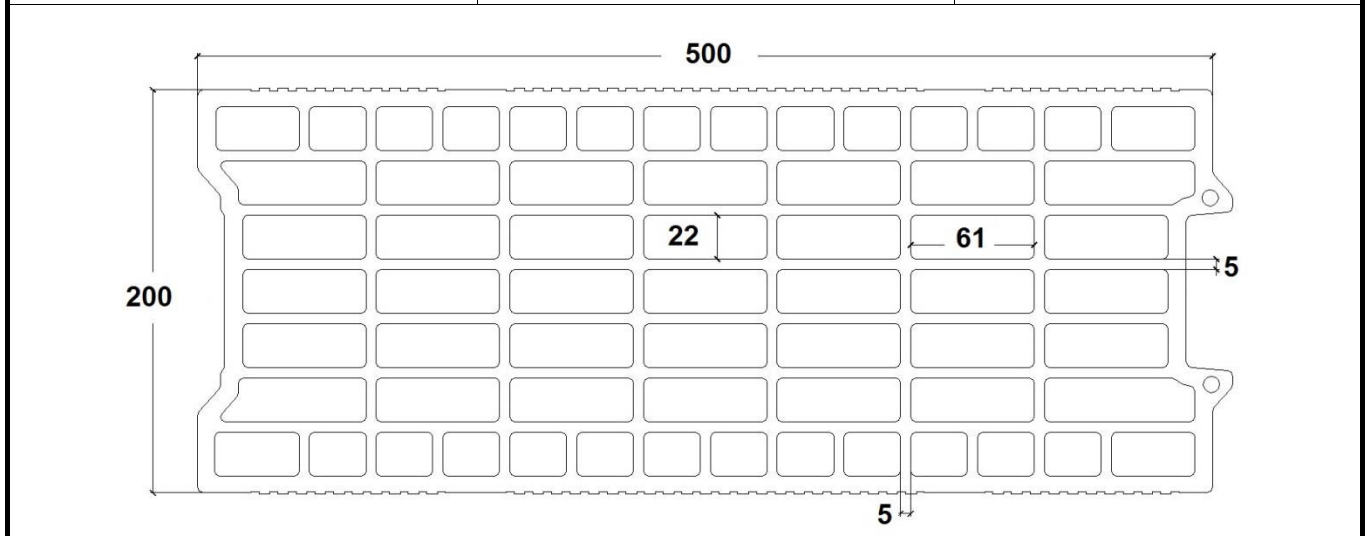


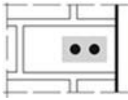
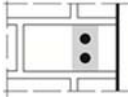
Tabelle C58: Rand- und Achsabstände

Ankergröße			Alle Größen
Randabstand	C_{cr}	[mm]	100 (120) ¹⁾
Minimaler Randabstand	C_{min} ²⁾	[mm]	100 (120) ¹⁾
Achsabstand	$S_{cr,II}$	[mm]	500
	$S_{cr,\perp}$	[mm]	314
Minimaler Achsabstand	S_{min}	[mm]	100

1) Werte in Klammern für VM-SH 20x85 und VM-SH 20x130

2) Für $V_{Rk,c}$; C_{min} gemäß ETAG 029, Anhang C

Tabelle C59: Gruppenfaktor für Ankergruppen unter Zugbelastung

Anordnung		mit c [mm] \geq	mit s [mm] \geq			
II: Ankeranordnung parallel zur Lagerfuge		200	100	$\alpha_{g,N,II}$	[-]	1,7
		C_{cr}	500			2,0
I: Ankeranordnung senkrecht zur Lagerfuge		200	100	$\alpha_{g,N,I}$	[-]	1,1
		C_{cr}	314			2,0

Injektionssystem VMU plus für Mauerwerk

Leistungen - Lochziegel BGV Thermo

Beschreibung des Steins, Rand- und Achsabstände, Gruppenfaktoren

Anhang C24

Steintyp: Lochziegel BGV Thermo

Tabelle C60: Gruppenfaktor für Ankergruppen unter Querkzugbelastung parallel zum freien Rand

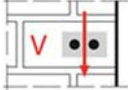
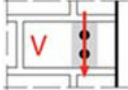
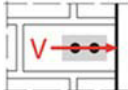
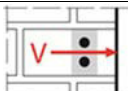
Anordnung		mit c [mm] ≥	mit s [mm] ≥			
II: Ankeranordnung parallel zur Lagerfuge		C_{Cr}	500	$\alpha_{g,V,II}$	[-]	2,0
I: Ankeranordnung senkrecht zur Lagerfuge		C_{Cr}	314	$\alpha_{g,V,I}$		2,0

Tabelle C61: Gruppenfaktor für Ankergruppen unter Querkzugbelastung senkrecht zum freien Rand

Anordnung		mit c [mm] ≥	mit s [mm] ≥			
II: Ankeranordnung parallel zur Lagerfuge		C_{Cr}	500	$\alpha_{g,V,II}$	[-]	2,0
I: Ankeranordnung senkrecht zur Lagerfuge		C_{Cr}	314	$\alpha_{g,V,I}$		2,0

Injektionssystem VMU plus für Mauerwerk

Leistungen - Lochziegel BGV Thermo
Gruppenfaktoren

Anhang C25

Steintyp: Lochziegel BGV Thermo

Tabelle C62: Charakteristische Werte der Tragfähigkeit unter Zug- und Querkzuglast

Ankergröße	Siebhülse	Effektive Verankerungstiefe	Charakteristischer Widerstand			
			Nutzungskategorie			
			d/d w/d w/w			d/d w/d w/w
			40°C/24°C	80°C/50°C	120°C/72°C	Alle Temperaturbereiche
h_{ef}	$N_{Rk,b} = N_{Rk,p}^{1)}$			$V_{Rk,b}^{2)3)}$		
[mm]	[kN]			[kN]		
Druckfestigkeit $f_b \geq 4 \text{ N/mm}^2$						
M8	12x80	80	0,6	0,6	0,6	2,0
M8 / M10/ IG-M6	16x85	85	0,6	0,6	0,6	2,0
	16x130	130	1,2	1,2	0,9	2,5
M12 / M16 / IG- M8 / IG-M10	20x85	85	0,6	0,6	0,6	2,5
	20x130	130	1,2	1,2	0,9	2,5
Druckfestigkeit $f_b \geq 6 \text{ N/mm}^2$						
M8	12x80	80	0,9	0,9	0,75	2,5
M8 / M10/ IG-M6	16x85	85	0,9	0,9	0,75	2,5
	16x130	130	1,5	1,5	1,2	3,0
M12 / M16 / IG- M8 / IG-M10	20x85	85	0,9	0,9	0,75	3,0
	20x130	130	1,5	1,5	1,2	3,0
Druckfestigkeit $f_b \geq 10 \text{ N/mm}^2$						
M8	12x80	80	0,9	0,9	0,9	3,5
M8 / M10/ IG-M6	16x85	85	0,9	0,9	0,9	3,5
	16x130	130	2,0	2,0	1,5	4,0
M12 / M16 / IG- M8 / IG-M10	20x85	85	0,9	0,9	0,9	4,0
	20x130	130	2,0	2,0	1,5	4,0

1) Werte gültig für c_{cr} und c_{min}

2) Bemessung von $V_{Rk,c}$ siehe ETAG 029, Anhang C, außer für Querkzugbelastung parallel zum freien Rand mit $c \geq 250 \text{ mm}$: $V_{Rk,c,II} = V_{Rk,b}$

3) Die Werte gelten für Stahl 5.6 oder höher. Für Stahl 4.6 und 4.8 ist $V_{Rk,b}$ mit 0,8 zu multiplizieren

Tabelle C63: Verschiebungen

Ankergröße	Siebhülse	h_{ef}	N	δ_N / N	δ_{N0}	$\delta_{N\infty}$	V	δ_{v0}	$\delta_{v\infty}$
		[mm]	[kN]	[mm/kN]	[mm]	[mm]	[kN]	[mm]	[mm]
M8	12x80	80	0,26	0,80	0,21	0,41	0,7	1,00	1,50
M8 / M10/ IG-M6	16x85	85			0,34	0,69			
	16x130	130	0,21		0,41				
M12 / M16 / IG-M8 / IG-M10	20x85	85	0,26		0,34	0,69	0,86		
	20x130	130	0,43	0,34	0,69				

Injektionssystem VMU plus für Mauerwerk

Leistungen - Lochziegel BGV Thermo
Charakteristische Werte der Tragfähigkeit, Verschiebungen

Anhang C26

Steintyp: Lochziegel Calibric R+

Tabelle C64: Beschreibung des Steins

Steintyp	Lochziegel Calibric R+		
Dichte ρ [kg/dm ³]	0,6		
Druckfestigkeit $f_b \geq$ [N/mm ²]	6, 9 oder 12		
Code	EN 771-1		
Hersteller (Ländercode)	z.B. Terreal (FR)		
Steinabmessungen [mm]	500 x 200 x 314		
Bohrverfahren	Drehend		

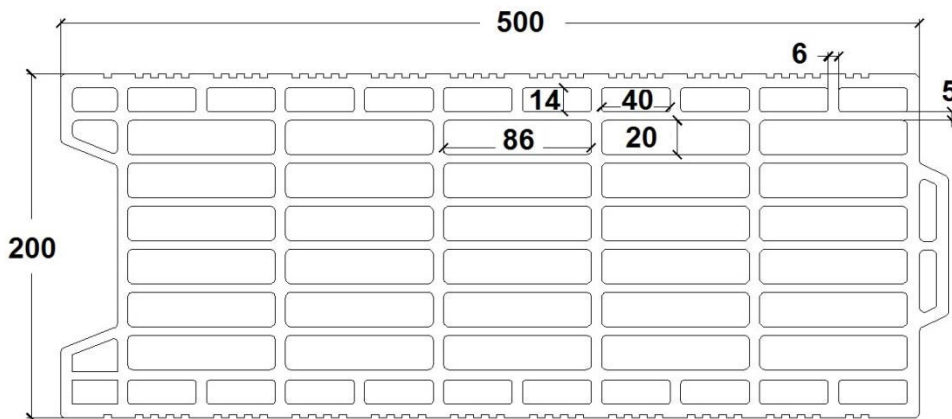


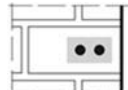
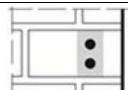
Tabelle C65: Rand- und Achsabstände

Ankergröße			Alle Größen
Randabstand	C_{cr}	[mm]	100 (120) ¹⁾
Minimaler Randabstand	$C_{min}^{2)}$	[mm]	100 (120) ¹⁾
Achsabstand	$S_{cr,II}$	[mm]	500
	$S_{cr,\perp}$	[mm]	314
Minimaler Achsabstand	S_{min}	[mm]	100

1) Werte in Klammern für VM-SH 20x85 und VM-SH 20x130

2) Für $V_{Rk,c}$: C_{min} gemäß ETAG 029, Anhang C

Tabelle C66: Gruppenfaktor für Ankergruppen unter Zugbelastung

Anordnung		mit c [mm] \geq	mit s [mm] \geq			
II: Ankeranordnung parallel zur Lagerfuge		175	100	$\alpha_{g,N,II}$	[-]	1,7
		C_{cr}	500			2,0
⊥: Ankeranordnung senkrecht zur Lagerfuge		175	100	$\alpha_{g,N,\perp}$	[-]	1,0
		C_{cr}	314			2,0

Injektionssystem VMU plus für Mauerwerk

Leistungen - Lochziegel Calibric R+

Beschreibung des Steins, Rand- und Achsabstände, Gruppenfaktoren

Anhang C27

Steintyp: Lochziegel Calibric R+

Tabelle C67: Gruppenfaktor für Ankergruppen unter Querkzugbelastung parallel zum freien Rand

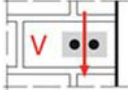
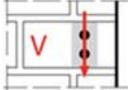
Anordnung		mit c [mm] ≥	mit s [mm] ≥			
II: Ankeranordnung parallel zur Lagerfuge		C_{Cr}	500	$\alpha_{g,V,II}$	[-]	2,0
I: Ankeranordnung senkrecht zur Lagerfuge		C_{Cr}	314	$\alpha_{g,V,I}$		2,0

Tabelle C68: Gruppenfaktor für Ankergruppen unter Querkzugbelastung senkrecht zum freien Rand

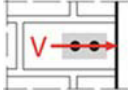
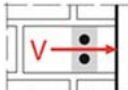
Anordnung		mit c [mm] ≥	mit s [mm] ≥			
II: Ankeranordnung parallel zur Lagerfuge		C_{Cr}	500	$\alpha_{g,V,II}$	[-]	2,0
I: Ankeranordnung senkrecht zur Lagerfuge		C_{Cr}	314	$\alpha_{g,V,I}$		2,0

Tabelle C69: Charakteristische Werte der Tragfähigkeit unter Zug- und Querkzuglast

Ankergröße	Siebhülse	Effektive Verankerungstiefe	Charakteristischer Widerstand			
			Nutzungskategorie			
			d/d			d/d
			w/d			w/d
			w/w	w/w		
			40°C/24°C	80°C/50°C	120°C/72°C	Alle Temperaturbereiche
h_{ef}			$N_{Rk,b} = N_{Rk,p}^{1)}$			$V_{Rk,b}^{2)3)}$
[mm]			[kN]			[kN]
Druckfestigkeit $f_b \geq 6 \text{ N/mm}^2$						
M8	12x80	80	0,9	0,9	0,75	3,0
M8 / M10 / IG-M6	16x85	85	0,9	0,9	0,75	4,0
	16x130	130	1,2	1,2	0,9	4,0
M12 / M16 / IG-M8 / IG-M10	20x85	85	0,9	0,9	0,75	6,0
	20x130	130	1,2	1,2	0,9	6,0
Druckfestigkeit $f_b \geq 9 \text{ N/mm}^2$						
M8	12x80	80	1,2	1,2	0,9	3,5
M8 / M10 / IG-M6	16x85	85	1,2	1,2	0,9	5,0
	16x130	130	1,5	1,5	1,2	5,0
M12 / M16 / IG-M8 / IG-M10	20x85	85	1,2	1,2	0,9	7,5
	20x130	130	1,5	1,5	1,2	7,5

1) Werte gültig für C_{Cr} und C_{min}

2) Bemessung von $V_{Rk,c}$ siehe ETAG 029, Anhang C, außer für Querkzugbelastung parallel zum freien Rand mit $c \geq 250 \text{ mm}$:
 $V_{Rk,c,II} = V_{Rk,b}$

3) Die Werte gelten für Stahl 5.6 oder höher. Für Stahl 4.6 und 4.8 ist $V_{Rk,b}$ mit 0,8 zu multiplizieren.

Injektionssystem VMU plus für Mauerwerk

Leistungen - Lochziegel Calibric R+

Gruppenfaktoren, Charakteristische Werte der Tragfähigkeit

Anhang C28

Steintyp: Lochziegel Calibric R+

Tabelle C70: Charakteristische Werte der Tragfähigkeit unter Zug- und Querkzuglast (Fortsetzung)

Ankergröße	Siebhülse	Effektive Verankerungstiefe	Charakteristischer Widerstand			
			Nutzungskategorie			
			d/d w/d w/w			d/d w/d w/w
			40°C/24°C	80°C/50°C	120°C/72°C	Alle Temperaturbereiche
h_{ef}	$N_{Rk,b} = N_{Rk,p}^{1)}$			$V_{Rk,b}^{2)3)}$		
[mm]	[kN]			[kN]		
Druckfestigkeit $f_b \geq 12 \text{ N/mm}^2$						
M8	12x80	80	1,2	1,2	0,9	4,0
M8 / M10/ IG-M6	16x85	85	1,2	1,2	0,9	5,5
	16x130	130	1,5	1,5	1,2	5,5
M12 / M16 / IG-M8 / IG-M10	20x85	85	1,2	1,2	0,9	8,5
	20x130	130	1,5	1,5	1,2	8,5

1) Werte gültig für c_{cr} und c_{min}

2) Bemessung von $V_{Rk,c}$ siehe ETAG 029, Anhang C, außer für Querkzugbelastung parallel zum freien Rand mit $c \geq 250 \text{ mm}$: $V_{Rk,c,II} = V_{Rk,b}$

3) Die Werte gelten für Stahl 5.6 oder höher. Für Stahl 4.6 und 4.8 ist $V_{Rk,b}$ mit 0,8 zu multiplizieren

Tabelle C71: Verschiebungen

Ankergröße	Siebhülse	h_{ef}	N	δ_N / N	δ_{N0}	$\delta_{N\infty}$	V	δ_{v0}	$\delta_{v\infty}$
		[mm]	[kN]	[mm/kN]	[mm]	[mm]	[kN]	[mm]	[mm]
M8	12x80	80	0,34	0,80	0,27	0,55	1,0	1,10	1,65
M8 / M10/ IG-M6	16x85	85							
	16x130	130	0,43		0,34	0,69	1,43	2,0	
M12 / M16 / IG-M8 / IG-M10	20x85	85	0,34		0,27	0,55	2,14		
	20x130	130	0,43	0,34	0,69				

Injektionssystem VMU plus für Mauerwerk

Leistungen - Lochziegel Calibric R+

Charakteristische Werte der Tragfähigkeit, Verschiebungen

Anhang C29

Steintyp: Lochziegel Urbanbric

Tabelle C72: Beschreibung des Steins

Steintyp	Lochziegel Urbanbric		
Dichte ρ [kg/dm ³]	0,7		
Druckfestigkeit $f_b \geq$ [N/mm ²]	6, 9 oder 12		
Code	EN 771-1		
Hersteller (Ländercode)	z.B. Imerys (FR)		
Steinabmessungen [mm]	560 x 200 x 274		
Bohrverfahren	Drehend		

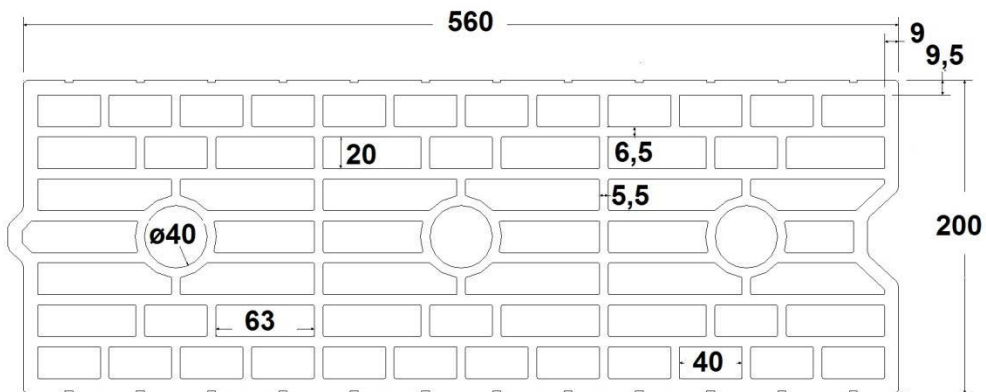


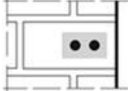
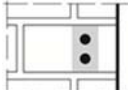
Tabelle C73: Rand- und Achsabstände

Ankergröße			Alle Größen
Randabstand	C_{cr}	[mm]	100 (120) ¹⁾
Minimaler Randabstand	$C_{min}^{2)}$	[mm]	100 (120) ¹⁾
Achsabstand	$S_{cr,II}$	[mm]	560
	$S_{cr,\perp}$	[mm]	274
Minimaler Achsabstand	S_{min}	[mm]	100

1) Werte in Klammern für VM-SH 20x85 und VM-SH 20x130

2) Für $V_{Rk,c}$: c_{min} gemäß ETAG 029, Anhang C

Tabelle C74: Gruppenfaktor für Ankergruppen unter Zugbelastung

Anordnung		mit c [mm] \geq	mit s [mm] \geq			
II: Ankeranordnung parallel zur Lagerfuge		185	100	$\alpha_{g,N,II}$	[-]	1,9
		C_{cr}	560			2,0
⊥: Ankeranordnung senkrecht zur Lagerfuge		185	100	$\alpha_{g,N,\perp}$	[-]	1,1
		C_{cr}	274			2,0

Injektionssystem VMU plus für Mauerwerk

Leistungen - Lochziegel Urbanbric

Beschreibung des Steins, Rand- und Achsabstände, Gruppenfaktoren

Anhang C30

Steintyp: Lochziegel Urbanbric

Tabelle C75: Gruppenfaktor für Ankergruppen unter Querkzugbelastung parallel zum freien Rand

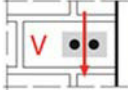
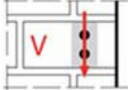
Anordnung		mit c [mm] ≥	mit s [mm] ≥			
II: Ankeranordnung parallel zur Lagerfuge		C_{Cr}	560	$\alpha_{g,V,II}$	[-]	2,0
I: Ankeranordnung senkrecht zur Lagerfuge		C_{Cr}	274	$\alpha_{g,V,I}$		2,0

Tabelle C76: Gruppenfaktor für Ankergruppen unter Querkzugbelastung senkrecht zum freien Rand

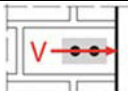
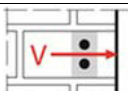
Anordnung		mit c [mm] ≥	mit s [mm] ≥			
II: Ankeranordnung parallel zur Lagerfuge		C_{Cr}	560	$\alpha_{g,V,II}$	[-]	2,0
I: Ankeranordnung senkrecht zur Lagerfuge		C_{Cr}	274	$\alpha_{g,V,I}$		2,0

Tabelle C77: Charakteristische Werte der Tragfähigkeit unter Zug- und Querkzuglast

Ankergröße	Siebhülse	Effektive Verankerungstiefe	Charakteristischer Widerstand			
			Nutzungskategorie			
			d/d			d/d
			w/d			w/d
			w/w	w/w		
			40°C/24°C	80°C/50°C	120°C/72°C	Alle Temperaturbereiche
h_{ef}			$N_{Rk,b} = N_{Rk,p}^{1)}$			$V_{Rk,b}^{2)3)}$
[mm]			[kN]			[kN]
Druckfestigkeit $f_b \geq 6 \text{ N/mm}^2$						
M8	12x80	80	0,9	0,9	0,75	3,0
M8 / M10 / IG-M6	16x85	85	0,9	0,9	0,75	3,0
	16x130	130	2,0	2,0	1,5	3,0
M12 / M16 / IG-M8 / IG-M10	20x85	85	0,9	0,9	0,75	3,5
	20x130	130	2,0	2,0	1,5	3,5
Druckfestigkeit $f_b \geq 9 \text{ N/mm}^2$						
M8	12x80	80	0,9	0,9	0,9	4,0
M8 / M10 / IG-M6	16x85	85	0,9	0,9	0,9	4,0
	16x130	130	2,5	2,5	2,0	4,0
M12 / M16 / IG-M8 / IG-M10	20x85	85	0,9	0,9	0,9	4,5
	20x130	130	2,5	2,5	2,0	4,5

- 1) Werte gültig für C_{Cr} und C_{min}
- 2) Bemessung von $V_{Rk,c}$ siehe ETAG 029, Anhang C, außer für Querkzugbelastung parallel zum freien Rand mit $c \geq 190 \text{ mm}$: $V_{Rk,c,II} = V_{Rk,b}$
- 3) Die Werte gelten für Stahl 5.6 oder höher. Für Stahl 4.6 und 4.8 ist $V_{Rk,b}$ mit 0,8 zu multiplizieren.

Injektionssystem VMU plus für Mauerwerk

Leistungen - Lochziegel Urbanbric
Gruppenfaktoren, Charakteristische Werte der Tragfähigkeit

Anhang C31

Steintyp: Lochziegel Urbanbric

Tabelle C78: Charakteristische Werte der Tragfähigkeit unter Zug- und Querkzuglast (Fortsetzung)

Ankergröße	Siebhülse	Effektive Verankerungstiefe	Charakteristischer Widerstand			
			Nutzungskategorie			
			d/d w/d w/w			d/d w/d w/w
			40°C/24°C	80°C/50°C	120°C/72°C	Alle Temperaturbereiche
h _{ef}	N _{Rk,b} = N _{Rk,p} ¹⁾			V _{Rk,b} ²⁾³⁾		
[mm]	[kN]			[kN]		
Druckfestigkeit f_b ≥ 12 N/mm²						
M8	12x80	80	1,2	1,2	0,9	4,5
M8 / M10/ IG-M6	16x85	85	1,2	1,2	0,9	4,5
	16x130	130	3,0	3,0	2,5	4,5
M12 / M16 / IG- M8 / IG-M10	20x85	85	1,2	1,2	0,9	5,0
	20x130	130	3,0	3,0	2,5	5,0

¹⁾ Werte gültig für c_{cr} und c_{min}

²⁾ Bemessung von V_{Rk,c} siehe ETAG 029, Anhang C, außer für Querkzugbelastung parallel zum freien Rand mit c ≥ 190 mm: V_{Rk,c,II} = V_{Rk,b}

³⁾ Die Werte gelten für Stahl 5.6 oder höher. Für Stahl 4.6 und 4.8 ist V_{Rk,b} mit 0,8 zu multiplizieren

Tabelle C79: Verschiebungen

Ankergröße	Siebhülse	h _{ef}	N	δ _N / N	δ _{No}	δ _{N∞}	V	δ _{v0}	δ _{v∞}
		[mm]	[kN]	[mm/kN]	[mm]	[mm]	[kN]	[mm]	[mm]
M8	12x80	80	0,34	0,80	0,27	0,55	1,30	1,00	1,50
M8 / M10/ IG-M6	16x85	85			0,69	1,37			
	16x130	130	0,27		0,55				
M12 / M16 / IG-M8 / IG-M10	20x85	85	0,34		0,69	1,37	1,43		
	20x130	130	0,86						

Injektionssystem VMU plus für Mauerwerk

Leistungen - Lochziegel Urbanbric

Charakteristische Werte der Tragfähigkeit, Verschiebungen

Anhang C32

Steintyp: Lochziegel Brique creuse C40

Tabelle C80: Beschreibung des Steins

Steintyp	Lochziegel Brique creuse C40		
Dichte	ρ [kg/dm ³]	0,7	
Druckfestigkeit	$f_b \geq$ [N/mm ²]	4, 8 oder 12	
Code	EN 771-1		
Hersteller (Ländercode)	z.B. Terreal (FR)		
Steinabmessungen	[mm]	500 x 200 x 200	
Bohrverfahren	Drehend		

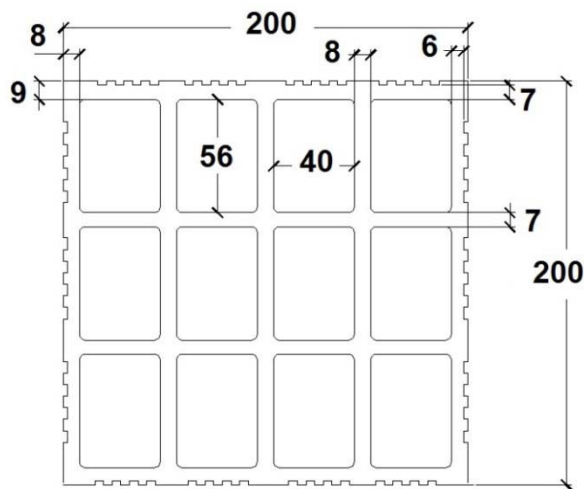


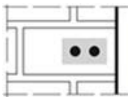
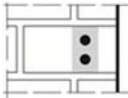
Tabelle C81: Rand- und Achsabstände

Ankergröße			Alle Größen
Randabstand	C_{cr}	[mm]	100 (120) ¹⁾
Minimaler Randabstand	$C_{min}^{2)}$	[mm]	100 (120) ¹⁾
Achsabstand	$S_{cr,II}$	[mm]	500
	$S_{cr,\perp}$	[mm]	200
Minimaler Achsabstand	S_{min}	[mm]	200

1) Werte in Klammern für VM-SH 20x85 und VM-SH 20x130

2) Für $V_{Rk,c}$: C_{min} gemäß ETAG 029, Anhang C

Tabelle C82: Gruppenfaktor für Ankergruppen unter Zugbelastung

Anordnung		mit c [mm] \geq	mit s [mm] \geq			
II: Ankeranordnung parallel zur Lagerfuge		C_{cr}	200	$\alpha_{g,N,II}$	[-]	2,0
I: Ankeranordnung senkrecht zur Lagerfuge		C_{cr}	200	$\alpha_{g,N,I}$		2,0

Injektionssystem VMU plus für Mauerwerk

Leistungen - Lochziegel Brique creuse C40

Beschreibung des Steins, Rand- und Achsabstände, Gruppenfaktoren

Anhang C33

Steintyp: Lochziegel Brique creuse C40

Tabelle C83: Gruppenfaktor für Ankergruppen unter Querkzugbelastung parallel zum freien Rand

Anordnung		mit c [mm] ≥	mit s [mm] ≥			
II: Ankeranordnung parallel zur Lagerfuge		c_{cr}	500	$\alpha_{g,V,II}$	[-]	2,0
I: Ankeranordnung senkrecht zur Lagerfuge		c_{cr}	200	$\alpha_{g,V,I}$		2,0

Tabelle C84: Gruppenfaktor für Ankergruppen unter Querkzugbelastung senkrecht zum freien Rand

Anordnung		mit c [mm] ≥	mit s [mm] ≥			
II: Ankeranordnung parallel zur Lagerfuge		c_{cr}	500	$\alpha_{g,V,II}$	[-]	2,0
I: Ankeranordnung senkrecht zur Lagerfuge		c_{cr}	200	$\alpha_{g,V,I}$		2,0

Tabelle C85: Charakteristische Werte der Tragfähigkeit unter Zug- und Querkzuglast

Ankergröße	Siebhülse	Effektive Verankerungstiefe [mm]	Charakteristischer Widerstand			
			Nutzungskategorie			
			d/d w/d w/w			d/d w/d w/w
			40°C/24°C	80°C/50°C	120°C/72°C	Alle Temperaturbereiche
		h_{ef}	$N_{Rk,b} = N_{Rk,p}^{1)}$			$V_{Rk,b}^{2)3)}$
		[mm]	[kN]			[kN]
Druckfestigkeit $f_b \geq 4 \text{ N/mm}^2$						
M8	12x80	80	0,6	0,6	0,6	0,9
M8 / M10 / IG-M6	16x85	85				
	16x130	130				
M12 / M16 / IG-M8 / IG-M10	20x85	85				
	20x130	130				
Druckfestigkeit $f_b \geq 8 \text{ N/mm}^2$						
M8	12x80	80	0,9	0,9	0,75	1,2
M8 / M10 / IG-M6	16x85	85				
	16x130	130				
M12 / M16 / IG-M8 / IG-M10	20x85	85				
	20x130	130				

- 1) Werte gültig für c_{cr} und c_{min}
- 2) Bemessung von $V_{Rk,c}$ siehe ETAG 029, Anhang C
- 3) Die Werte gelten für Stahl 5.6 oder höher. Für Stahl 4.6 und 4.8 ist $V_{Rk,b}$ mit 0,8 zu multiplizieren.

Injektionssystem VMU plus für Mauerwerk

Leistungen - Lochziegel Brique creuse C40
Gruppenfaktoren, Charakteristische Werte der Tragfähigkeit

Anhang C34

Steintyp: Lochziegel Brique creuse C40

Tabelle C86: Charakteristische Werte der Tragfähigkeit unter Zug- und Querkzuglast (Fortsetzung)

Ankergröße	Siebhülse	Effektive Verankerungstiefe	Charakteristischer Widerstand			
			Nutzungskategorie			
			d/d w/d w/w			d/d w/d w/w
			40°C/24°C	80°C/50°C	120°C/72°C	Alle Temperaturbereiche
h_{ef}	$N_{Rk,b} = N_{Rk,p}^{1)}$			$V_{Rk,b}^{2)3)}$		
[mm]	[kN]			[kN]		
Druckfestigkeit $f_b \geq 12 \text{ N/mm}^2$						
M8	12x80	80	1,2	1,2	0,9	1,5
M8 / M10/ IG-M6	16x85	85				
	16x130	130				
M12 / M16 / IG-M8 / IG-M10	20x85	85				
	20x130	130				

1) Werte gültig für C_{cr} und C_{min}

2) Bemessung von $V_{Rk,c}$ siehe ETAG 029, Anhang C

3) Die Werte gelten für Stahl 5.6 oder höher. Für Stahl 4.6 und 4.8 ist $V_{Rk,b}$ mit 0,8 zu multiplizieren

Tabelle C87: Verschiebungen

Ankergröße	Siebhülse	h_{ef}	N	δ_N / N	δ_{N0}	$\delta_{N\infty}$	V	δ_{v0}	$\delta_{v\infty}$
		[mm]	[kN]	[mm/kN]	[mm]	[mm]	[kN]	[mm]	[mm]
M8	12x80	80	0,17	0,80	0,14	0,27	0,3	0,9	1,35
M8 / M10/ IG-M6	16x85	85							
	16x130	130	0,14		0,11	0,23			
M12 / M16 / IG-M8 / IG-M10	20x85	85	0,17		0,14	0,27			
	20x130	130	0,14	0,11	0,23				

Injektionssystem VMU plus für Mauerwerk

Leistungen - Lochziegel Brique creuse C40
Charakteristische Werte der Tragfähigkeit, Verschiebungen

Anhang C35

Steintyp: Lochziegel Blocchi Leggeri

Tabelle C88: Beschreibung des Steins

Steintyp	Lochziegel Blocchi Leggeri		
Dichte	ρ [kg/dm ³]	0,6	
Druckfestigkeit	$f_b \geq$ [N/mm ²]	4, 6, 8 oder 12	
Code	EN 771-1		
Hersteller (Ländercode)	z.B. Wienerberger (IT)		
Steinabmessungen	[mm]	250 x 120 x 250	
Bohrverfahren	Drehend		

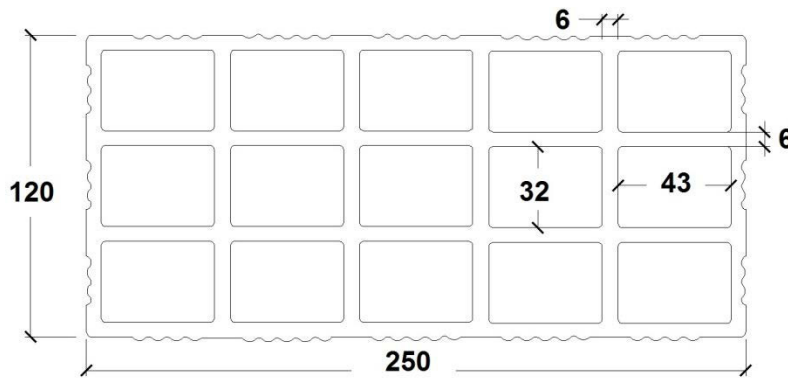
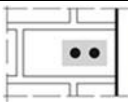
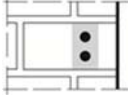


Tabelle C89: Rand- und Achsabstände

Ankergröße			Alle Größen
Randabstand	C_{cr}	[mm]	100 (120) ¹⁾
Minimaler Randabstand	C_{min}	[mm]	60
Achsabstand	$S_{cr,II}$	[mm]	250
	$S_{cr,\perp}$	[mm]	120
Minimaler Achsabstand	S_{min}	[mm]	100

¹⁾ Werte in Klammern für VM-SH 20x85; VM-SH 20x130 und VM-SH 20x200

Tabelle C90: Gruppenfaktor für Ankergruppen unter Zugbelastung

Anordnung		mit c [mm] \geq	mit s [mm] \geq			
II: Ankeranordnung parallel zur Lagerfuge		60	100	$\alpha_{g,N,II}$	[-]	1,0
		C_{cr}	250			2,0
I: Ankeranordnung senkrecht zur Lagerfuge		60	100	$\alpha_{g,N,\perp}$		2,0

Injektionssystem VMU plus für Mauerwerk

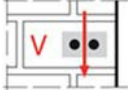
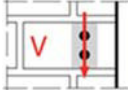
Leistungen - Lochziegel Blocchi Leggeri

Beschreibung des Steins, Rand- und Achsabstände, Gruppenfaktoren

Anhang C36

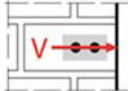
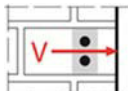
Steintyp: Lochziegel Blocchi Leggeri

Tabelle C91: Gruppenfaktor für Ankergruppen unter Querkzugbelastung parallel zum freien Rand

Anordnung		mit c [mm] ≥	mit s [mm] ≥			
II: Ankeranordnung parallel zur Lagerfuge		60 ¹⁾	100 ¹⁾	$\alpha_{g,V,II}$	[-]	1,0
		c_{cr}	250			2,0
⊥: Ankeranordnung senkrecht zur Lagerfuge		60 ¹⁾	100 ¹⁾	$\alpha_{g,V,\perp}$	[-]	1,6
		c_{cr}	250			2,0

¹⁾ Nur gültig für $V_{Rk,b}$ gemäß Tabelle C93 und C94 Werte in Klammern

Tabelle C92: Gruppenfaktor für Ankergruppen unter Querkzugbelastung senkrecht zum freien Rand

Anordnung		mit c [mm] ≥	mit s [mm] ≥			
II: Ankeranordnung parallel zur Lagerfuge		60 ¹⁾	100 ¹⁾	$\alpha_{g,V,II}$	[-]	1,0
		c_{cr}	250			2,0
⊥: Ankeranordnung senkrecht zur Lagerfuge		60 ¹⁾	100 ¹⁾	$\alpha_{g,V,\perp}$	[-]	1,6
		c_{cr}	250			2,0

¹⁾ Nur gültig für $V_{Rk,b}$ gemäß Tabelle C93 und C94 Werte in Klammern

Tabelle C93: Charakteristische Werte der Tragfähigkeit unter Zug- und Querkzuglast

Ankergröße	Siebhülse	Effektive Verankerungstiefe	Charakteristischer Widerstand			
			Nutzungskategorie			
			d/d w/d w/w			d/d w/d w/w
			40°C/24°C	80°C/50°C	120°C/72°C	Alle Temperaturbereiche
		h_{ef}	$N_{Rk,b} = N_{Rk,p}^{1)}$			
		[mm]	[kN]			
Druckfestigkeit $f_b \geq 4 \text{ N/mm}^2$						
M8	12x80	80	0,4	0,4	0,3	2,0 ²⁾ (0,9) ³⁾
M8 / M10 / IG-M6	16x85	85				
	16x130	130				
M12 / M16 / IG-M8 / IG-M10	20x85	85				
	20x130	130				
	20x200	200				

¹⁾ Werte gültig für c_{cr} und c_{min}

²⁾ Bemessung von $V_{Rk,c}$ siehe ETAG 029, Anhang C, außer für Querkzugbelastung parallel zum freien Rand mit $c \geq 125 \text{ mm}$: $V_{Rk,c,II} = V_{Rk,b}$

³⁾ Werte in Klammern $V_{Rk,c} = V_{Rk,b}$ für Einzelanker mit c_{min}

⁴⁾ Die Werte gelten für Stahl 5.6 oder höher. Für Stahl 4.6 und 4.8 ist $V_{Rk,b}$ mit 0,8 zu multiplizieren.

Injektionssystem VMU plus für Mauerwerk

Leistungen - Lochziegel Blocchi Leggeri
Gruppenfaktoren, Charakteristische Werte der Tragfähigkeit

Anhang C37

Steintyp: Lochziegel Blocchi Leggeri

Tabelle C94: Charakteristische Werte der Tragfähigkeit unter Zug- und Querzuglast (Fortsetzung)

Ankergröße	Siebhülse	Effektive Verankerungstiefe	Charakteristischer Widerstand			
			Nutzungskategorie			
			d/d w/d w/w			d/d w/d w/w
			40°C/24°C	80°C/50°C	120°C/72°C	Alle Temperaturbereiche
h_{ef}	$N_{Rk,b} = N_{Rk,p}^{1)}$			$V_{Rk,b}^{4)}$		
[mm]	[kN]			[kN]		
Druckfestigkeit $f_b \geq 6 \text{ N/mm}^2$						
M8	12x80	80	0,5	0,5	0,4	2,5 ²⁾ (1,2) ³⁾
M8 / M10 / IG-M6	16x85	85				
	16x130	130				
M12 / M16 / IG-M8 / IG-M10	20x85	85				
	20x130	130				
	20x200	200				
Druckfestigkeit $f_b \geq 8 \text{ N/mm}^2$						
M8	12x80	80	0,6	0,6	0,5	3,0 ²⁾ (1,2) ³⁾
M8 / M10 / IG-M6	16x85	85				
	16x130	130				
M12 / M16 / IG-M8 / IG-M10	20x85	85				
	20x130	130				
	20x200	200				
Druckfestigkeit $f_b \geq 12 \text{ N/mm}^2$						
M8	12x80	80	0,6	0,6	0,6	3,5 ²⁾ (1,5) ³⁾
M8 / M10 / IG-M6	16x85	85				
	16x130	130				
M12 / M16 / IG-M8 / IG-M10	20x85	85				
	20x130	130				
	20x200	200				

1) Werte gültig für c_{cr} und c_{min}

2) Bemessung von $V_{Rk,c}$ siehe ETAG 029, Anhang C, außer für Querzugbelastung parallel zum freien Rand mit $c \geq 125 \text{ mm}$: $V_{Rk,c,II} = V_{Rk,b}$

3) Werte in Klammern $V_{Rk,c} = V_{Rk,b}$ mit c_{min}

4) Die Werte gelten für Stahl 5.6 oder höher. Für Stahl 4.6 und 4.8 ist $V_{Rk,b}$ mit 0,8 zu multiplizieren.

Tabelle C95: Verschiebungen

Ankergröße	Siebhülse	h_{ef}	N	δ_N / N	δ_{N0}	$\delta_{N\infty}$	V	δ_{v0}	$\delta_{v\infty}$
		[mm]	[kN]	[mm/kN]	[mm]	[mm]	[kN]	[mm]	[mm]
Alle Größen	Alle Größen	Alle Größen	0,17	1,20	0,21	0,41	0,9	1,20	1,80

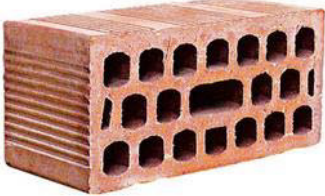
Injektionssystem VMU plus für Mauerwerk

Leistungen - Lochziegel Blocchi Leggeri
Charakteristische Werte der Tragfähigkeit, Verschiebungen

Anhang C38

Steintyp: Lochziegel Doppio Uni

Tabelle C96: Beschreibung des Steins

Steintyp	Lochziegel Doppio Uni		
Dichte ρ [kg/dm ³]	0,9		
Druckfestigkeit $f_b \geq$ [N/mm ²]	10, 16, 20 oder 28		
Code	EN 771-1		
Hersteller (Ländercode)	z.B. Wienerberger (IT)		
Steinabmessungen [mm]	250 x 120 x 120		
Bohrverfahren	Drehend		

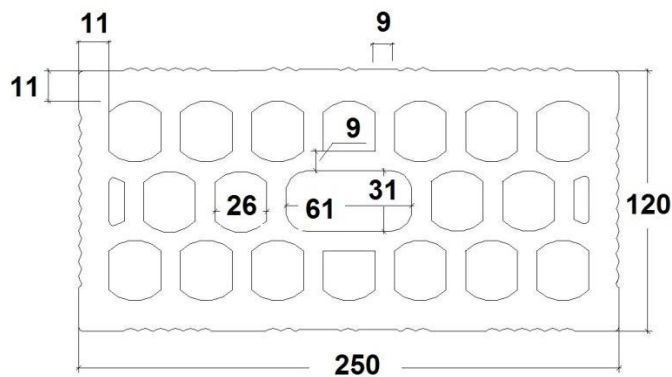


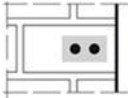
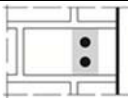
Tabelle C97: Rand- und Achsabstände

Ankergröße		Alle Größen	
Randabstand	C_{cr} [mm]	100 (120) ¹⁾	
Minimaler Randabstand	C_{min} ²⁾ [mm]	60	
Achsabstand	$S_{cr,II}$ [mm]	250	
	$S_{cr,\perp}$ [mm]	120	
Minimaler Achsabstand	$S_{min,II}$ [mm]	100	
	$S_{min,\perp}$ [mm]	120	

¹⁾ Werte in Klammern für VM-SH 20x85; VM-SH 20x130 und VM-SH 20x200

²⁾ Für $V_{Rk,c}$: C_{min} gemäß ETAG 029, Anhang C

Tabelle C98: Gruppenfaktor für Ankergruppen unter Zugbelastung

Anordnung		mit c [mm] \geq	mit s [mm] \geq			
II: Ankeranordnung parallel zur Lagerfuge		60	100	$\alpha_{g,N,II}$	[-]	1,0
		C_{cr}	250			2,0
I: Ankeranordnung senkrecht zur Lagerfuge		60	100	$\alpha_{g,N,\perp}$		2,0

Injektionssystem VMU plus für Mauerwerk

Leistungen - Lochziegel Doppio Uni

Beschreibung des Steins, Rand- und Achsabstände, Gruppenfaktoren

Anhang C39

Steintyp: Lochziegel Doppio Uni

Tabelle C99: Gruppenfaktor für Ankergruppen unter Querkzugbelastung parallel zum freien Rand

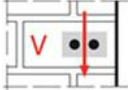
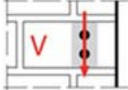
Anordnung		mit c [mm] ≥	mit s [mm] ≥			
II: Ankeranordnung parallel zur Lagerfuge		c_{cr}	250	$\alpha_{g,V,II}$	[-]	2,0
I: Ankeranordnung senkrecht zur Lagerfuge		c_{cr}	120	$\alpha_{g,V,I}$		2,0

Tabelle C100: Gruppenfaktor für Ankergruppen unter Querkzugbelastung senkrecht zum freien Rand

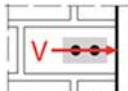
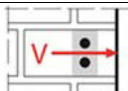
Anordnung		mit c [mm] ≥	mit s [mm] ≥			
II: Ankeranordnung parallel zur Lagerfuge		c_{cr}	250	$\alpha_{g,V,II}$	[-]	2,0
I: Ankeranordnung senkrecht zur Lagerfuge		c_{cr}	120	$\alpha_{g,V,I}$		2,0

Tabelle C101: Charakteristische Werte der Tragfähigkeit unter Zug- und Querkzuglast

Ankergröße	Siebhülse	Effektive Verankerungstiefe	Charakteristischer Widerstand			
			Nutzungskategorie			
			d/d w/d w/w			d/d w/d w/w
			40°C/24°C	80°C/50°C	120°C/72°C	Alle Temperaturbereiche
		h_{ef}	$N_{Rk,b} = N_{Rk,p}^{1)}$			$V_{Rk,b}^{2)3)}$
		[mm]	[kN]			[kN]
Druckfestigkeit $f_b \geq 10 \text{ N/mm}^2$						
M8	12x80	80	0,6	0,6	0,5	1,5
M8 / M10/ IG-M6	16x85	85				
	16x130	130				
M12 / M16 / IG-M8 / IG-M10	20x85	85				
	20x130	130				
	20x200	200				

- 1) Werte gültig für c_{cr} und c_{min}
- 2) Bemessung von $V_{Rk,c}$ siehe ETAG 029, Anhang C
- 3) Die Werte gelten für Stahl 5.6 oder höher. Für Stahl 4.6 und 4.8 ist $V_{Rk,b}$ mit 0,8 zu multiplizieren.

Injektionssystem VMU plus für Mauerwerk

Leistungen - Lochziegel Doppio Uni
Gruppenfaktoren, Charakteristische Werte der Tragfähigkeit

Anhang C40

Steintyp: Lochziegel Doppio Uni

Tabelle C102: Charakteristische Werte der Tragfähigkeit unter Zug- und Querkzuglast (Fortsetzung)

Ankergröße	Siebhülse	Effektive Verankerungstiefe	Charakteristischer Widerstand			
			Nutzungskategorie			
			d/d w/d w/w			d/d w/d w/w
			40°C/24°C	80°C/50°C	120°C/72°C	Alle Temperaturbereiche
h_{ef}	$N_{Rk,b} = N_{Rk,p}^{1)}$			$V_{Rk,b}^{2)3)}$		
[mm]	[kN]			[kN]		
Druckfestigkeit $f_b \geq 16 \text{ N/mm}^2$						
M8	12x80	80	0,75	0,75	0,6	2,0
M8 / M10/ IG-M6	16x85	85				
	16x130	130				
M12 / M16 / IG-M8 / IG-M10	20x85	85				
	20x130	130				
	20x200	200				
Druckfestigkeit $f_b \geq 20 \text{ N/mm}^2$						
M8	12x80	80	0,9	0,9	0,75	2,0
M8 / M10/ IG-M6	16x85	85				
	16x130	130				
M12 / M16 / IG-M8 / IG-M10	20x85	85				
	20x130	130				
	20x200	200				
Druckfestigkeit $f_b \geq 28 \text{ N/mm}^2$						
M8	12x80	80	1,2	1,2	0,9	2,5
M8 / M10/ IG-M6	16x85	85				
	16x130	130				
M12 / M16 / IG-M8 / IG-M10	20x85	85				
	20x130	130				
	20x200	200				

1) Werte gültig für c_{cr} und c_{min}

2) Bemessung von $V_{Rk,c}$ siehe ETAG 029, Anhang C

3) Die Werte gelten für Stahl 5.6 oder höher. Für Stahl 4.6 und 4.8 ist $V_{Rk,b}$ mit 0,8 zu multiplizieren.

Tabelle C103: Verschiebungen

Ankergröße	Siebhülse	h_{ef}	N	δ_N / N	δ_{N0}	$\delta_{N\infty}$	V	δ_{v0}	$\delta_{v\infty}$
		[mm]	[kN]	[mm/kN]	[mm]	[mm]	[kN]	[mm]	[mm]
Alle Größen	Alle Größen	Alle Größen	0,26	1,20	0,31	0,62	0,6	0,3	0,45

Injektionssystem VMU plus für Mauerwerk

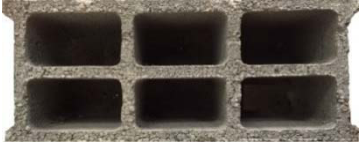
Leistungen - Lochziegel Doppio Uni

Charakteristische Werte der Tragfähigkeit, Verschiebungen

Anhang C41

Steintyp: Lochstein aus Leichtbeton Bloc creux B40

Tabelle C104: Beschreibung des Steins

Steintyp	Lochstein aus Leichtbeton Bloc creux B40		
Dichte	ρ [kg/dm ³]	0,8	
Druckfestigkeit	$f_b \geq$ [N/mm ²]	4	
Code	EN 771-3		
Hersteller (Ländercode)	z.B. Sepa (FR)		
Steinabmessungen	[mm]	494 x 200 x 190	
Bohrverfahren	Drehend		

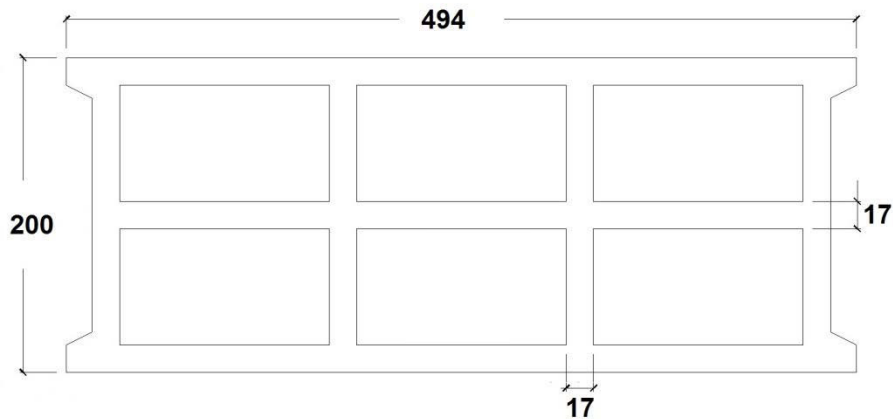


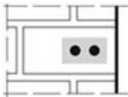
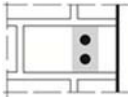
Tabelle C105: Rand- und Achsabstände

Ankergröße			Alle Größen
Randabstand	C_{cr}	[mm]	100 (120) ¹⁾
Minimaler Randabstand	C_{min} ²⁾	[mm]	100 (120) ¹⁾
Achsabstand	$S_{cr,II}$	[mm]	494
	$S_{cr,\perp}$	[mm]	190
Minimaler Achsabstand	S_{min}	[mm]	100

¹⁾ Werte in Klammern für VM-SH 20x85 und VM-SH 20x130

²⁾ Für $V_{Rk,c}$: C_{min} gemäß ETAG 029, Anhang C

Tabelle C106: Gruppenfaktor für Ankergruppen unter Zugbelastung

Anordnung		mit c [mm] \geq	mit s [mm] \geq			
II: Ankeranordnung parallel zur Lagerfuge		100	100	$\alpha_{g,N,II}$	[-]	1,5
		C_{cr}	494			2,0
⊥: Ankeranordnung senkrecht zur Lagerfuge		100	100	$\alpha_{g,N,\perp}$	[-]	1,0
		C_{cr}	190			2,0

Injektionssystem VMU plus für Mauerwerk

Leistungen - Lochstein aus Leichtbeton Bloc creux B40
Beschreibung des Steins, Rand- und Achsabstände, Gruppenfaktoren

Anhang C42

Steintyp: Lochstein aus Leichtbeton Bloc creux B40

Tabelle C107: Gruppenfaktor für Ankergruppen unter Querkzugbelastung parallel zum freien Rand

Anordnung		mit c [mm] ≥	mit s [mm] ≥			
II: Ankeranordnung parallel zur Lagerfuge		50	100	$\alpha_{g,V,II}$	[-]	1,1
		C_{cr}	494			2,0
I: Ankeranordnung senkrecht zur Lagerfuge		100	100	$\alpha_{g,V,I}$	[-]	1,1
		C_{cr}	190			2,0

Tabelle C108: Gruppenfaktor für Ankergruppen unter Querkzugbelastung senkrecht zum freien Rand

Anordnung		mit c [mm] ≥	mit s [mm] ≥			
II: Ankeranordnung parallel zur Lagerfuge		C_{cr}	494	$\alpha_{g,V,II}$	[-]	2,0
I: Ankeranordnung senkrecht zur Lagerfuge		C_{cr}	190	$\alpha_{g,V,I}$		2,0

Tabelle C109: Charakteristische Werte der Tragfähigkeit unter Zug- und Querkzuglast

Ankergröße	Siebhülse	Effektive Verankerungstiefe	Charakteristischer Widerstand						
			Nutzungskategorie						
			d/d			w/d			d/d
			40°C/24°C	80°C/50°C	120°C/72°C	40°C/24°C	80°C/50°C	120°C/72°C	w/d
		$N_{Rk,b} = N_{Rk,p}^{1)}$			$N_{Rk,b} = N_{Rk,p}^{1)}$			Alle Temperaturbereiche	
		[kN]							
Druckfestigkeit $f_b \geq 4 \text{ N/mm}^2$									
M8	12x80	80	1,2	0,9	0,75	0,9	0,75	3,0	
M8 / M10/ IG-M6	16x85	85							0,9
	16x130	130							1,2
M12 / M16 / IG-M8 / IG-M10	20x85	85							1,2
	20x130	130	1,2						

¹⁾ Werte gültig für C_{cr} und C_{min}

²⁾ Bemessung von $V_{Rk,c}$ siehe ETAG 029, Anhang C, außer für Querkzugbelastung parallel zum freien Rand mit $c \geq 250 \text{ mm}$: $V_{Rk,c,II} = V_{Rk,b}$

³⁾ Die Werte gelten für Stahl 5.6 oder höher. Für Stahl 4.6 und 4.8 ist $V_{Rk,b}$ mit 0,8 zu multiplizieren.

Tabelle C110: Verschiebungen

Ankergröße	Siebhülse	h_{ef}	N	δ_N / N	δ_{N0}	$\delta_{N\infty}$	V	δ_{V0}	$\delta_{V\infty}$
		[mm]	[kN]	[mm/kN]	[mm]	[mm]	[kN]	[mm]	[mm]
Alle Größen	Alle Größen	Alle Größen	0,34	0,90	0,31	0,62	0,86	0,9	1,35

Injektionssystem VMU plus für Mauerwerk

Leistungen - Lochstein aus Leichtbeton Bloc creux B40
Gruppenfaktoren, Charakteristische Werte der Tragfähigkeit, Verschiebungen

Anhang C43

Steintyp: Vollstein aus Leichtbeton - LAC

Tabelle C111: Beschreibung des Steins

Steintyp	Vollstein aus Leichtbeton LAC		
Dichte	ρ [kg/dm ³]	0,6	
Druckfestigkeit	$f_b \geq$ [N/mm ²]	2	
Code	EN 771-3		
Hersteller (Ländercode)	z.B. Bisotherm (DE)		
Steinabmessungen	[mm]	300 x 123 x 248	
Bohrverfahren	Drehend		

Tabelle C112: Rand- und Achsabstände

Ankergröße			Alle Größen
Randabstand	c_{cr}	[mm]	$1,5 \cdot h_{ef}$
Minimaler Randabstand	c_{min}	[mm]	60
Achsabstand	s_{cr}	[mm]	$3 \cdot h_{ef}$
Minimaler Achsabstand	s_{min}	[mm]	120

Tabelle C113: Gruppenfaktor für Ankergruppen unter Zugbelastung

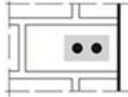
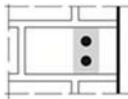
Anordnung		mit c [mm] \geq	mit s [mm] \geq			
II: Ankeranordnung parallel zur Lagerfuge		90	120	$\alpha_{g,N,II}$	[-]	1,1
		$1,5 \cdot h_{ef}$	$3 \cdot h_{ef}$			2,0
I: Ankeranordnung senkrecht zur Lagerfuge		124	120	$\alpha_{g,N,I}$		1,1
		$1,5 \cdot h_{ef}$	$3 \cdot h_{ef}$			2,0

Tabelle C114: Gruppenfaktor für Ankergruppen unter Querkzugbelastung parallel zum freien Rand

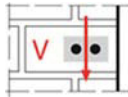
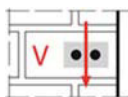
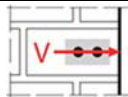
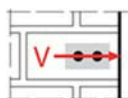
Anordnung		mit c [mm] \geq	mit s [mm] \geq			
II: Ankeranordnung parallel zur Lagerfuge		60	120	$\alpha_{g,V,II}$	[-]	0,6
		90	120			2,0
I: Ankeranordnung senkrecht zur Lagerfuge		60	120	$\alpha_{g,V,I}$		0,6
		124	120			2,0

Tabelle C115: Gruppenfaktor für Ankergruppen unter Querkzugbelastung senkrecht zum freien Rand

Anordnung		mit c [mm] \geq	mit s [mm] \geq			
II: Ankeranordnung parallel zur Lagerfuge		60	120	$\alpha_{g,V,II}$	[-]	0,6
		90	120			2,0
I: Ankeranordnung senkrecht zur Lagerfuge		60	120	$\alpha_{g,V,I}$		0,6
		$1,5 \cdot h_{ef}$	120			1,0
		$1,5 \cdot h_{ef}$	$3 \cdot h_{ef}$		2,0	

Injektionssystem VMU plus für Mauerwerk

Leistungen - Vollstein aus Leichtbeton - LAC

Beschreibung des Steins, Rand- und Achsabstände, Gruppenfaktoren

Anhang C44

Steintyp: Vollstein aus Leichtbeton - LAC

Tabelle C116: Charakteristische Werte der Tragfähigkeit unter Zug- und Querkraftlast

Ankergröße	Siebhülse	Effektive Verankerungstiefe	Charakteristischer Widerstand						
			Nutzungskategorie						
			d/d			w/d w/w			d/d w/d w/w
			40°C/24°C	80°C/50°C	120°C/72°C	40°C/24°C	80°C/50°C	120°C/72°C	Alle Temperaturbereiche
h _{ef}	N _{Rk,b} = N _{Rk,p} ¹⁾			N _{Rk,b} = N _{Rk,p} ¹⁾			V _{Rk,b} ²⁾³⁾		
[mm]	[kN]								
Druckfestigkeit f _b ≥ 2 N/mm ²									
M8	-	80	3,0	2,5	2,0	2,5	2,0	1,5	3,0
M8 / M10 / IG-M6	-	90	3,0	3,0	2,0	2,5	2,5	2,0	3,0
M10 / IG-M8	-	100	3,5	3,0	2,5	3,0	2,5	2,0	3,0
M16 / IG-M10	-	100	3,0	3,0	2,0	3,0	3,0	2,0	3,0
M8	12x80	80	2,5	2,5	2,0	2,5	2,0	1,5	3,0
M8 / M10 / IG-M6	16x85	85	3,0	2,5	2,0	3,0	2,5	2,0	3,0
	16x130	130	3,0	2,5	2,0	3,0	2,5	2,0	3,0
M12 / M16 / IG-M8 / IG-M10	20x85	85	2,5	2,5	2,0	2,5	2,5	2,0	3,0
	20x130	130							
	20x200	200							

1) Werte gültig für c_{cr}, Werte in Klammern gültig für Einzelanker mit c_{min}

2) Bemessung von V_{Rk,c} siehe ETAG 029, Anhang C

3) Die Werte gelten für Stahl 5.6 oder höher. Für Stahl 4.6 und 4.8 ist V_{Rk,b} mit 0,8 zu multiplizieren.

Tabelle C117: Verschiebungen

Ankergröße	Siebhülse	h _{ef}	N	δ _N / N	δ _{N0}	δ _{N∞}	V	δ _{v0}	δ _{v∞}
		[mm]	[kN]	[mm/kN]	[mm]	[mm]	[kN]	[mm]	[mm]
M8	-	80	0,86	0,50	0,43	0,86	0,9	0,25	0,38
M8 / M10 / IG-M6	-	90							
M10 / IG-M8	-	100							
M16 / IG-M10	-	100	0,86	0,35	0,30	0,60			
M8	12x80	80	0,71	0,35	0,25	0,50	0,9	0,25	0,38
M8 / M10 / IG-M6	16x85	85							
	16x130	130							
M12 / M16 / IG-M8 / IG-M10	20x85	85							
	20x130	130							
	20x200	200							

Injektionssystem VMU plus für Mauerwerk

Leistungen - Vollstein aus Leichtbeton - LAC
Charakteristische Werte der Tragfähigkeit, Verschiebungen

Anhang C45